



Analisis Biogas Reaktor dengan Side-Entering Mixer Berbasis CFD

Durrotun Nasikhah Fahmy – 2311100098

Stephen Julianto Wonokusumo - 2311100138

Dosen Pembimbing :

Prof. Dr. Ir. Sugeng Winardi, M.Eng

Dr. Tantular Nurtono, S.T, M.Eng

Laboratorium Mekanika Fluida dan Pencampuran
Teknik Kimia
Institut Teknologi Sepuluh Nopember



LATAR BELAKANG



Biogas reactor



Biogas reactor



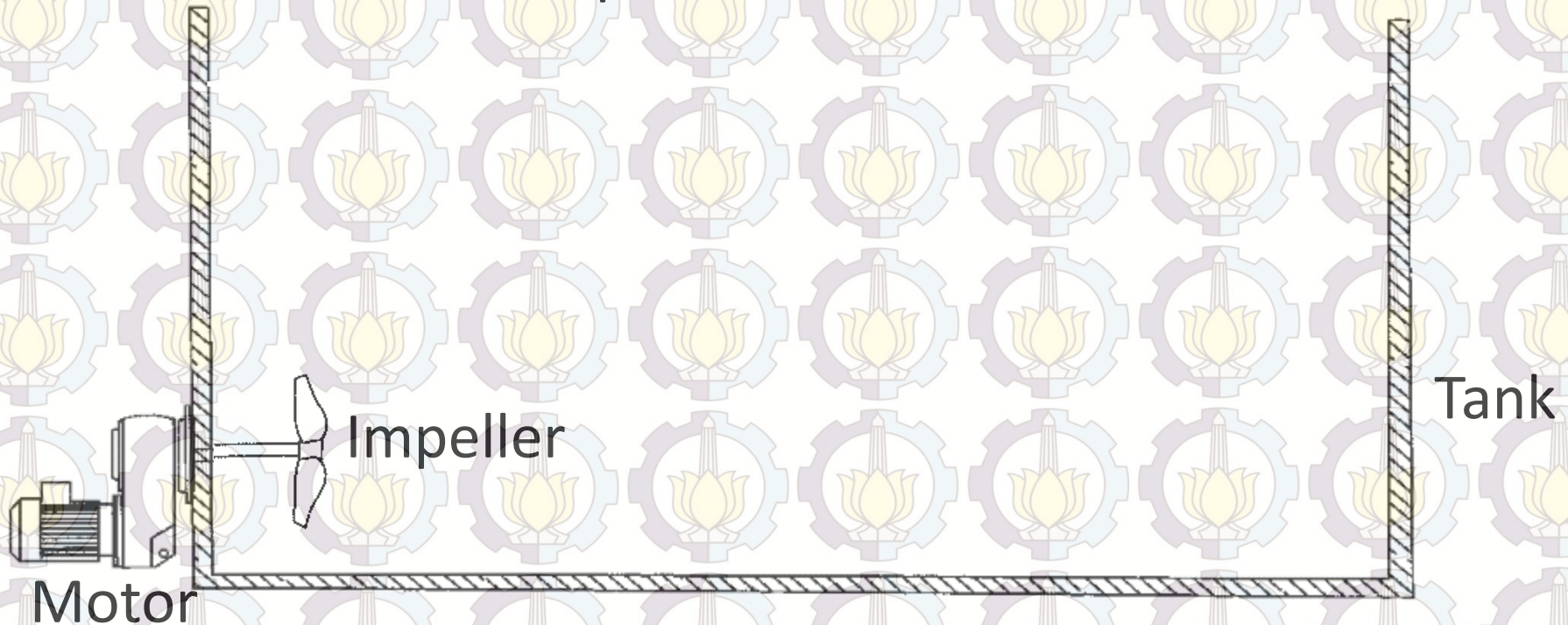
Biogas reactor

LATAR BELAKANG



ITS
chemical
engineering

Liquid surface



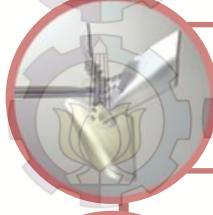
LATAR BELAKANG



ITS
chemical
engineering



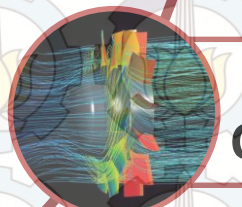
Proses biogas menggunakan mikroba anaerobik



Tinggi liquida pada reaktor biogas relatif tinggi



Instalasi lebih mudah dibandingkan dengan top entering mixer



Analisis Biogas Reaktor dengan Side Entering Mixer Berbasis
CFD

PENELITIAN TERDAHULU



ITS
chemical
engineering

| PENELITI | YANG DITELITI |
|-----------------------------|---|
| Dakhel & Rahimi (2004) | CFD Simulation of homogenization in Large-scale crude oil storage tank. Permodelan: CFD, k- ε turbulent, Multiple Frame of Reference (MFR) |
| Sukmawedha & Sari (2012) | Simulasi Pola Aliran dalam Tangki Berpengaduk menggunakan Side-Entering Impeller untuk Suspensi Padat-Cair Permodelan : CFD, LES, Sliding Mesh |
| Wu (2012) | Computational Fluid Dynamics Study of Large – scale mixing system with Side Entering Mixer Permodelan : CFD, k- ε turbulent |

PERUMUSAN MASALAH



ITS
chemical
engineering

SIDE ENTERING MIXER

Ukuran

Multifase

Jenis
Impeller

Kecepatan

Belum banyak diketahui karakteristik
Pola alir serta Makro Instabilitas dari Multi Fase
Di dalam aliran **Side Entering Mixer**

TUJUAN PENELITIAN



“ Mengetahui karakteristik pola aliran dan makroinstabilitas berdasarkan ukuran, jenis dan kecepatan putar impeller dengan sistem gas liquid dalam tangki dengan menggunakan *side-entering mixer* dengan pendekatan secara simulasi menggunakan Computational Fluid Dynamics(CFD) ”

MANFAAT PENELITIAN



ITS
chemical
engineering

“ Memberikan informasi valid tentang desain reaktor biogas dengan *side-entering mixer* (SEM) skala laboratorium dengan sistem gas-liquid sebagai acuan desain biogas reaktor skala industri”

METODOLOGI

1

PRE-PROCESSING

2

SOLVING

3

POST-PROCESSING

Menghimpun
Data

- Material Properties
- Boundary Condition

Graphics and
Animation

Pemodelan
Geometri

Pemodelan

Plot

Meshing

Equation
Solved

PRE PROCESSING : HIMPUN DATA



ITS
chemical
engineering

Variabel Kecepatan Putar :

- 400 rpm
- 500 rpm
- 600 rpm
- 700 rpm

Variabel Ukuran Impeller:

- 3 cm
- 4 cm

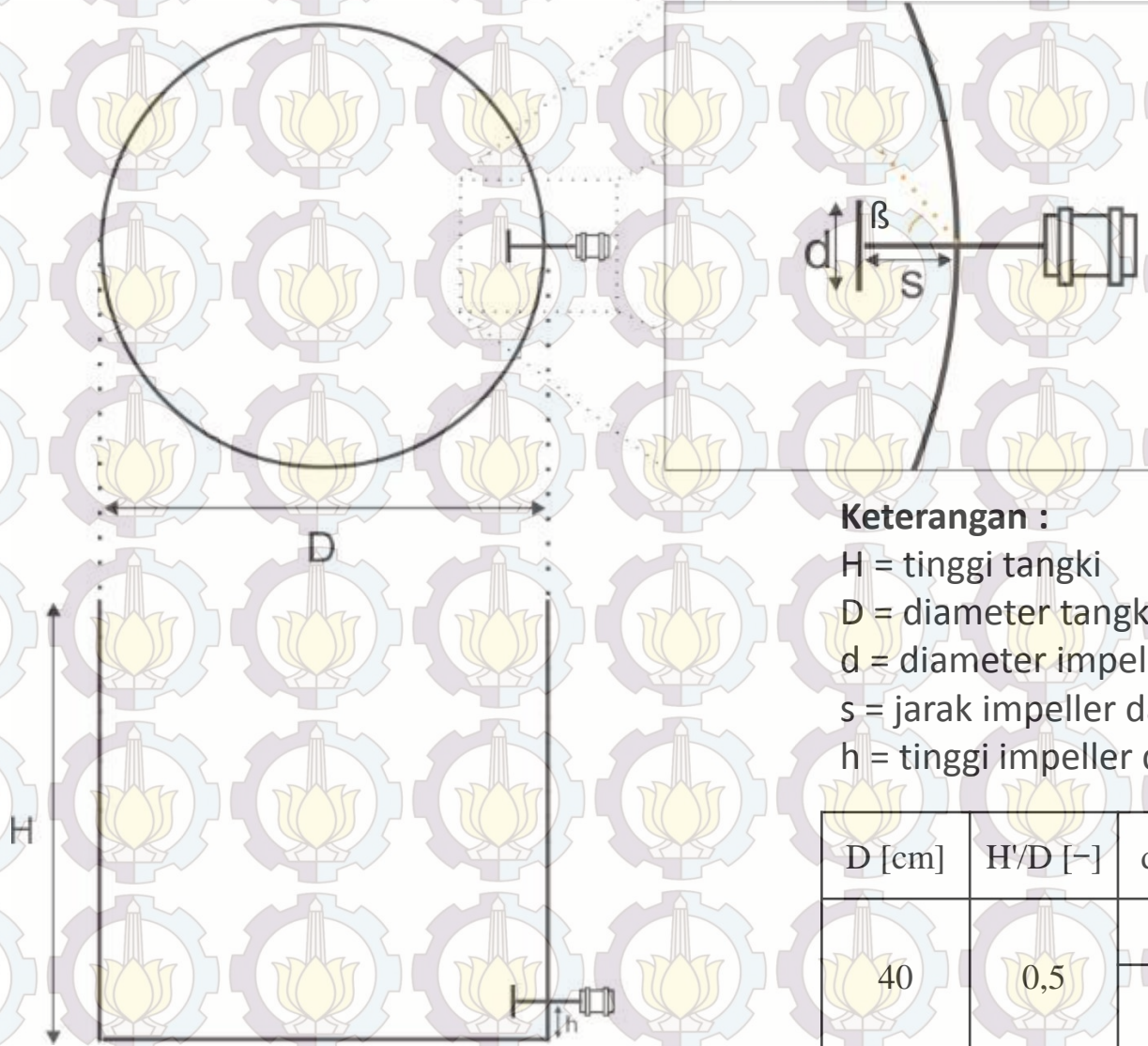
Variabel Jumlah Blade:

- 4 blade
- 6 blade

PRE-PROCESSING : PEMODELAN GEOMETRI



ITS
chemical
engineering



Keterangan :

H = tinggi tangki

D = diameter tangki

d = diameter impeller

s = jarak impeller dari dinding tangki

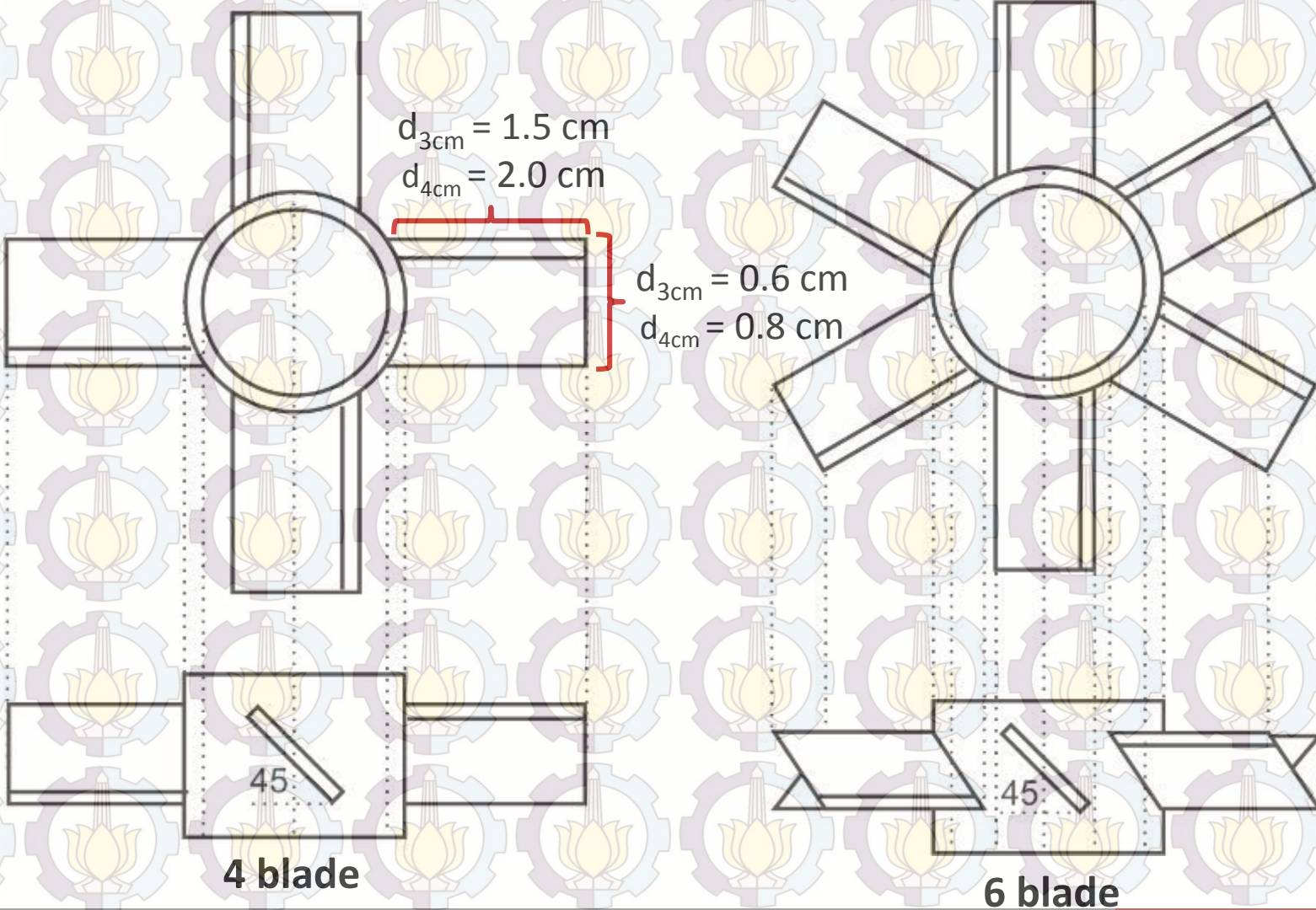
h = tinggi impeller dari dasar tangki

| D [cm] | H/D [-] | d/D [-] | s/D [-] | h/D [-] |
|----------|-----------|-----------|-----------|-----------|
| 40 | 0,5 | 0,075 | 0,075 | 0,075 |

PRE-PROCESSING: PEMODELAN GEOMETRI



ITS
chemical
engineering



SOLVING: MATERIAL PROPERTIES



ITS
chemical
engineering

| Keterangan | Liquid | Gas |
|-------------------------------|----------|---------------------------|
| Reference Temperatur (°C) | Air | Methane + CO ₂ |
| Densitas (kg/m ³) | 1000 | 0,6679 |
| Viskositas (kg/m/s) | 0,001003 | 0,000010875 |

SOLVING: GEOMETRI TANGKI

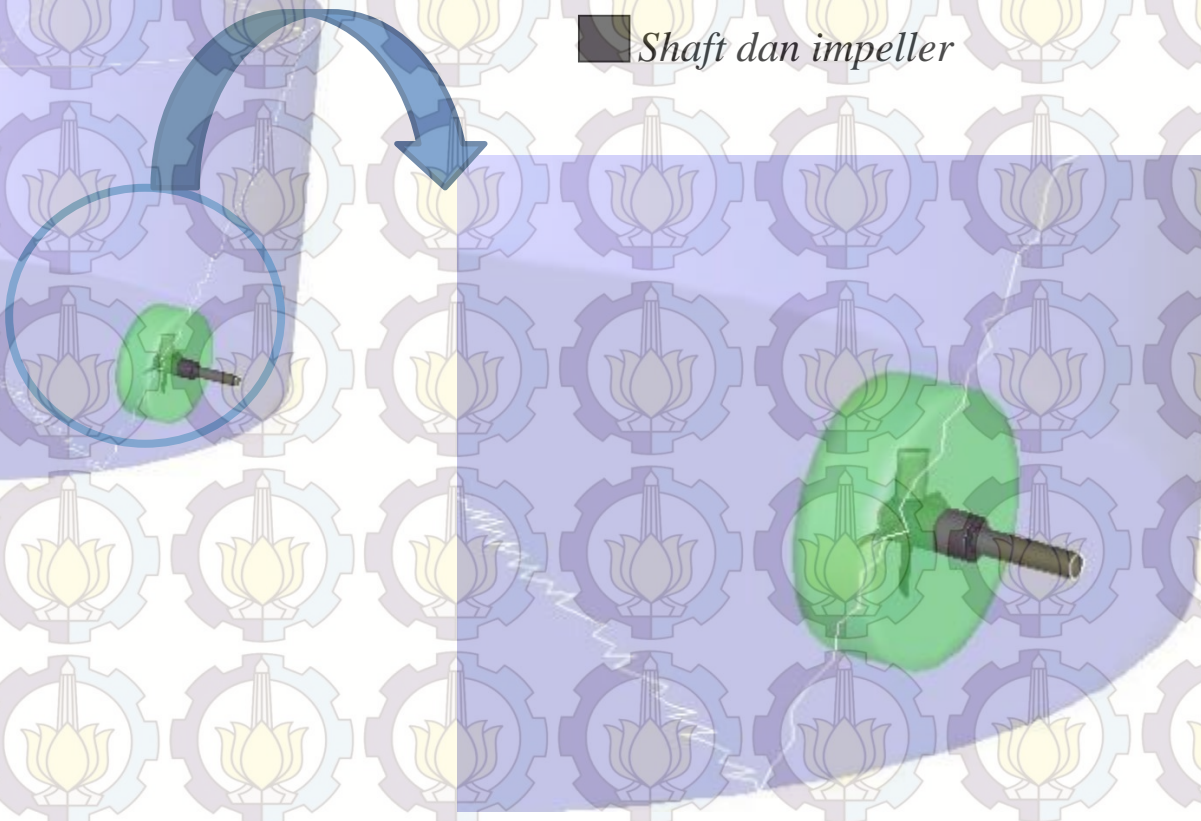


ITS
chemical
engineering

Stationery zone

Moving zone

Shaft dan impeller



SOLVING : SOLVER



Memilih Persamaan

A

Mendefinisikan material

Memilih solver

Membuat interface

Menghitung penyelesaian model matematis

Memodelkan turbulensi dengan *LES*

Menginisialkan System

A

Time Step Size = 0,01 s
Jumlah time step 1000
1 s dapat 100 frame gambar

SOLVING : PEMODELAN



ITS
chemical
engineering

Viscous Model

- Large Eddy Simulation (LES)

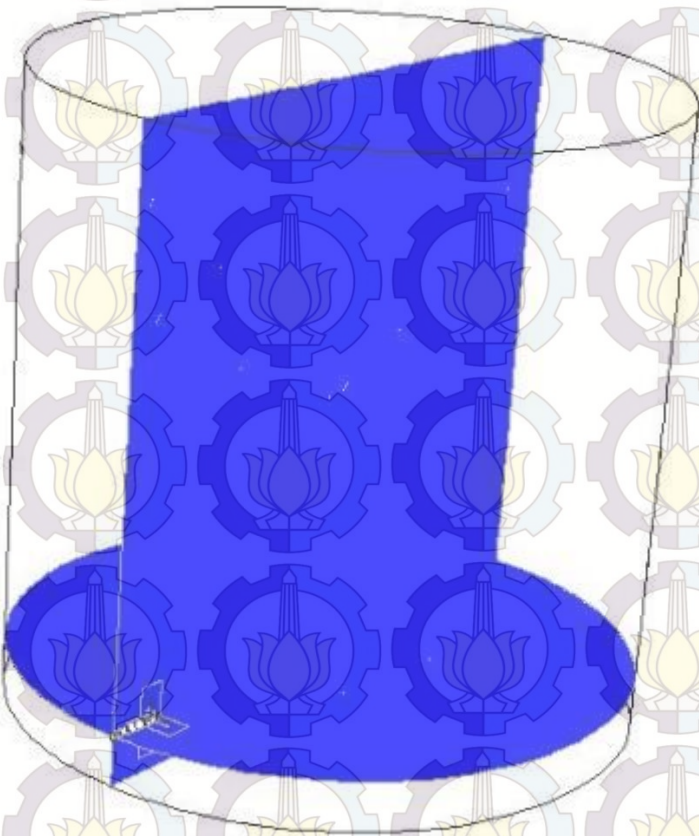
Impeller Model

- Sliding Mesh

SOLVING: **BIDANG PENGAMATAN**



ITS
chemical
engineering



“Bidang vertikal dan
horizontal yang memotong
tepat ditengah impeller”

POST-PROCESSING:

Pola
alir

Average
life time

Volume
Fraction

Jumlah
Makro
instabilitas

Life time
ratio



ITS
chemical
engineering

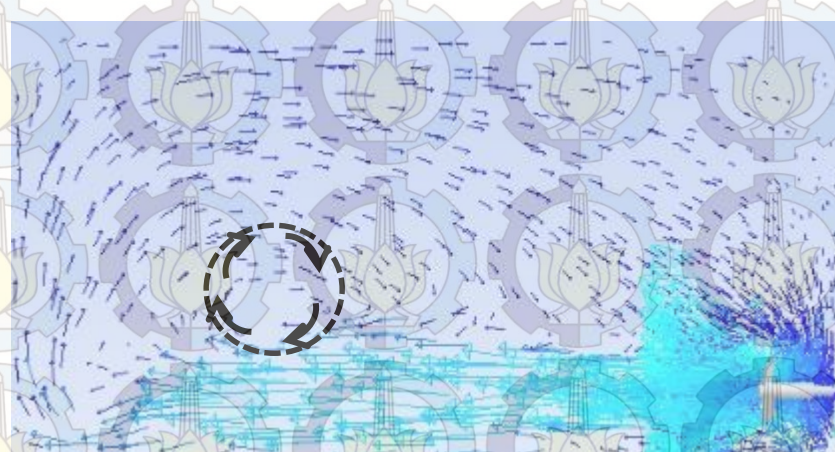


HASIL DAN PEMBAHASAN

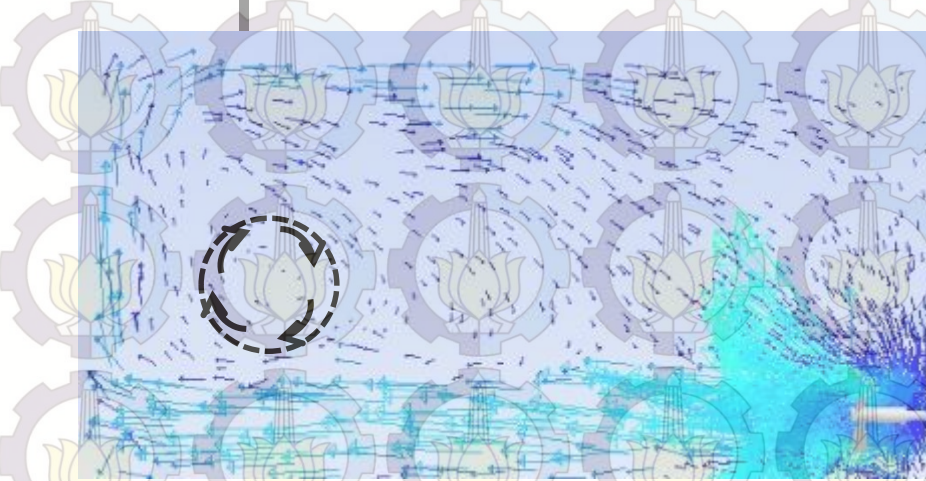
Impeller 4 cm 4 blade dengan kecepatan putar 400 rpm



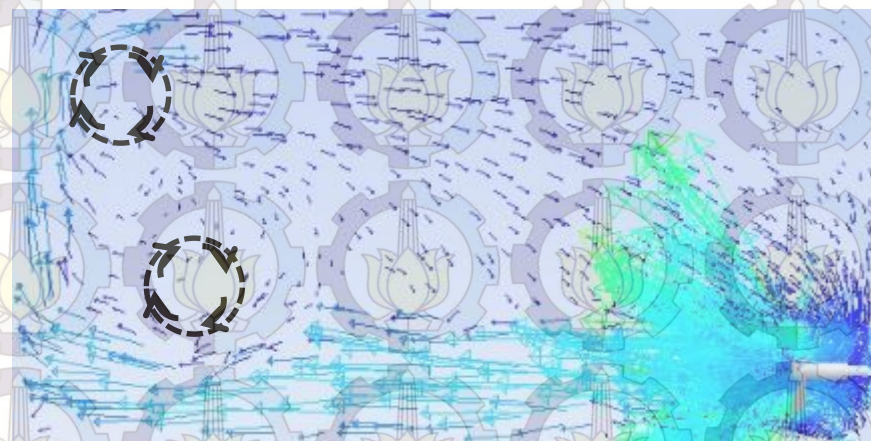
ITS
chemical
engineering



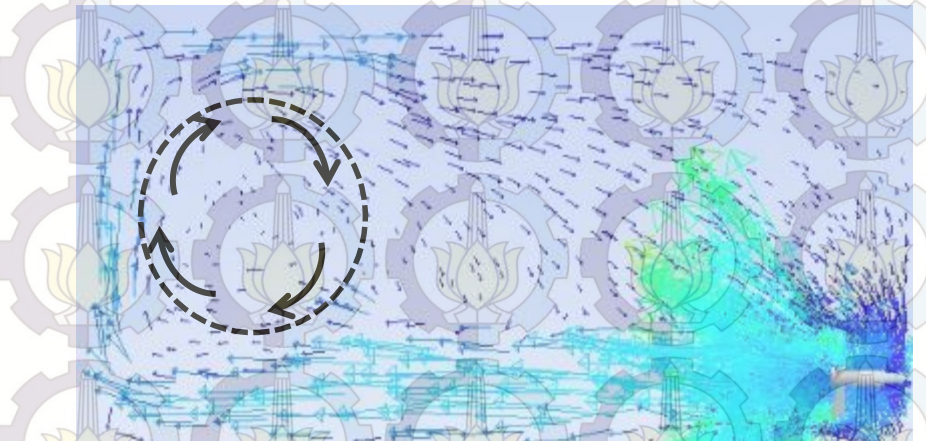
$t = 3,01$ s



$t = 5,06$ s



$t = 6,41$ s

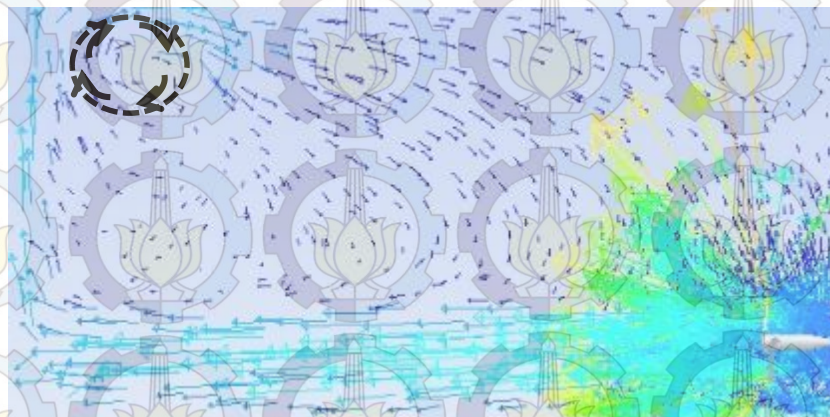


$t = 8,14$ s

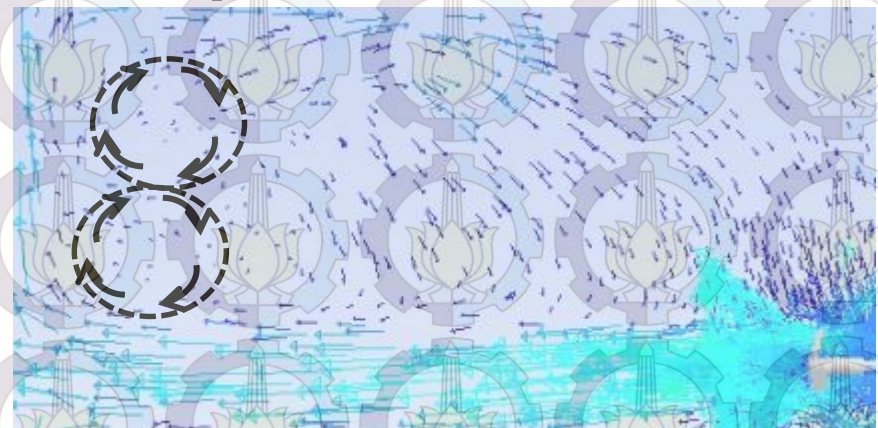
Impeller 4 cm 4 blade dengan kecepatan putar 500 rpm



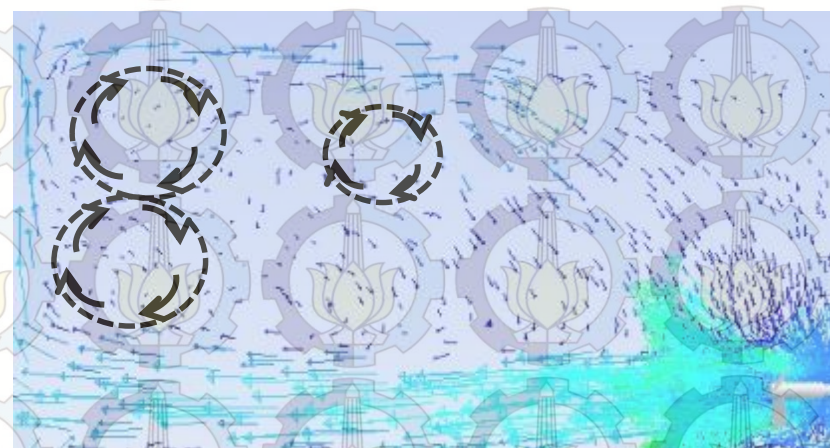
ITS
chemical
engineering



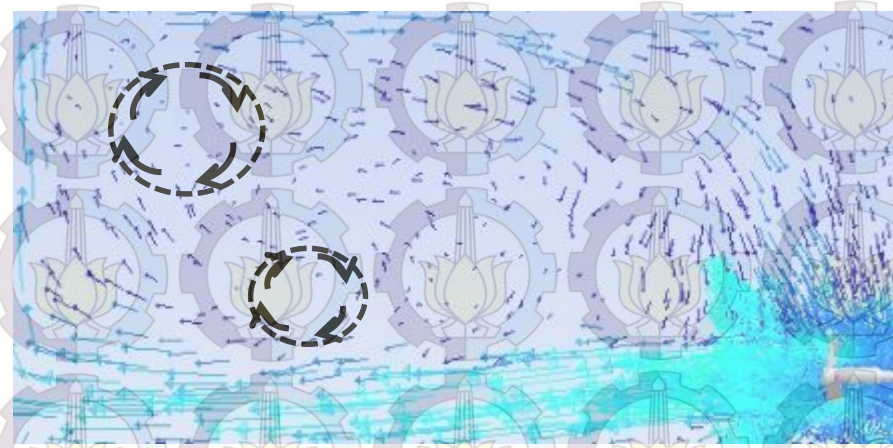
$t = 3,68$ s



$t = 4,98$ s



$t = 5,64$ s

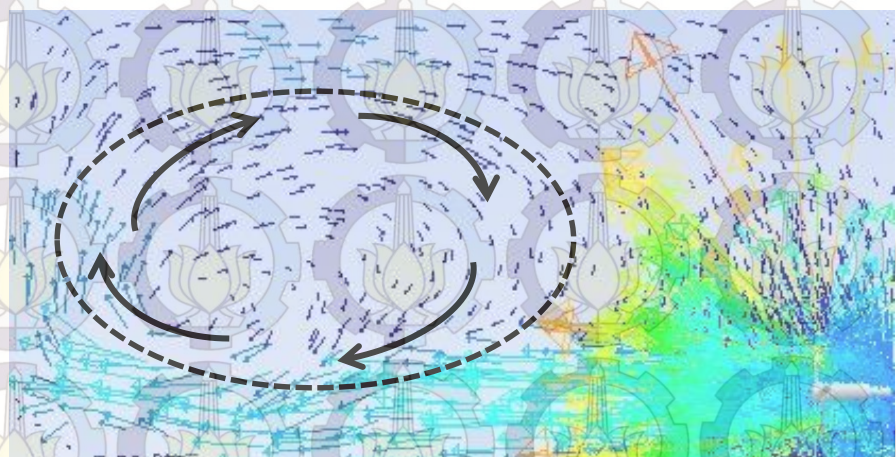


$t = 8,47$ s

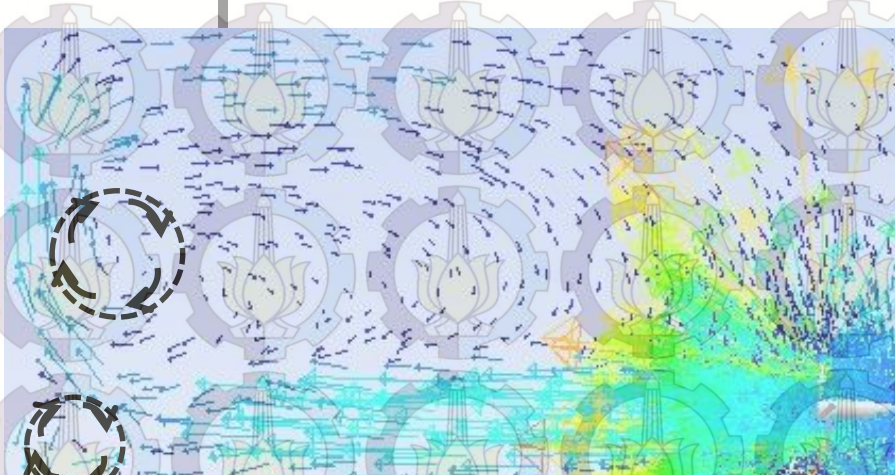
Impeller 4 cm 4 blade dengan kecepatan putar 600 rpm



ITS
chemical
engineering



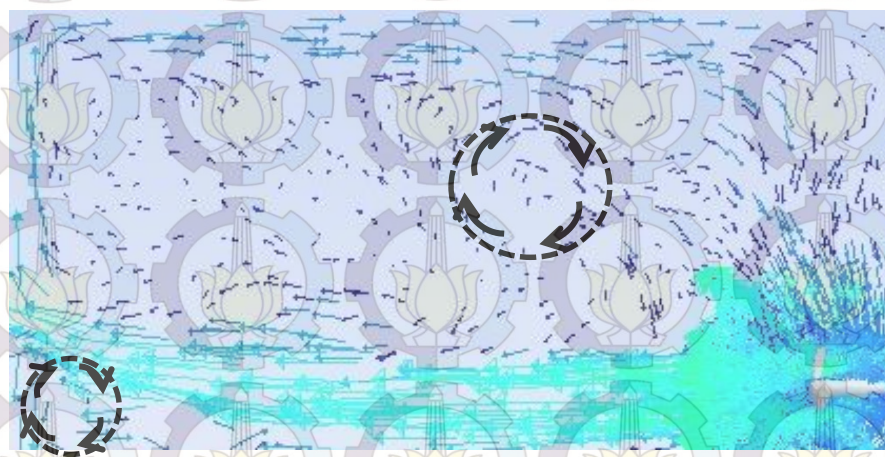
$t = 1,54 \text{ s}$



$t = 2,14 \text{ s}$



$t = 5,51 \text{ s}$

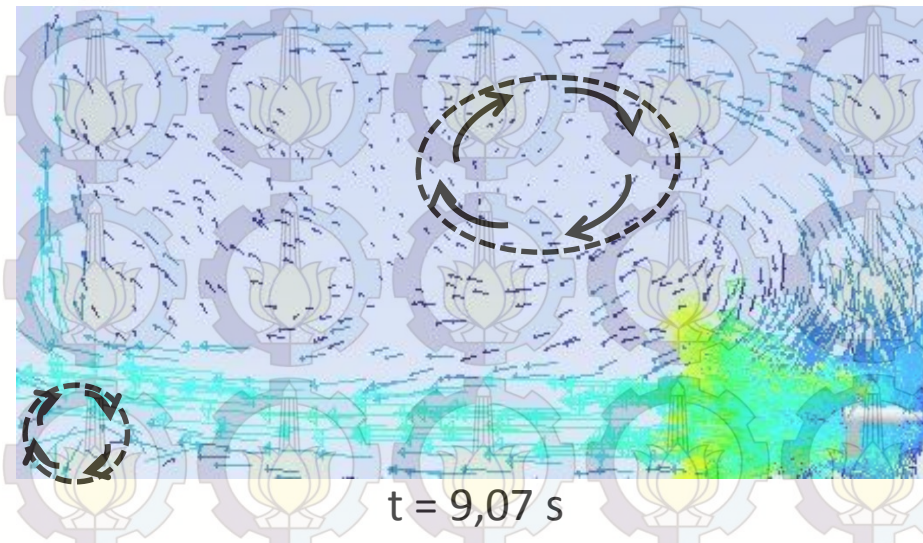
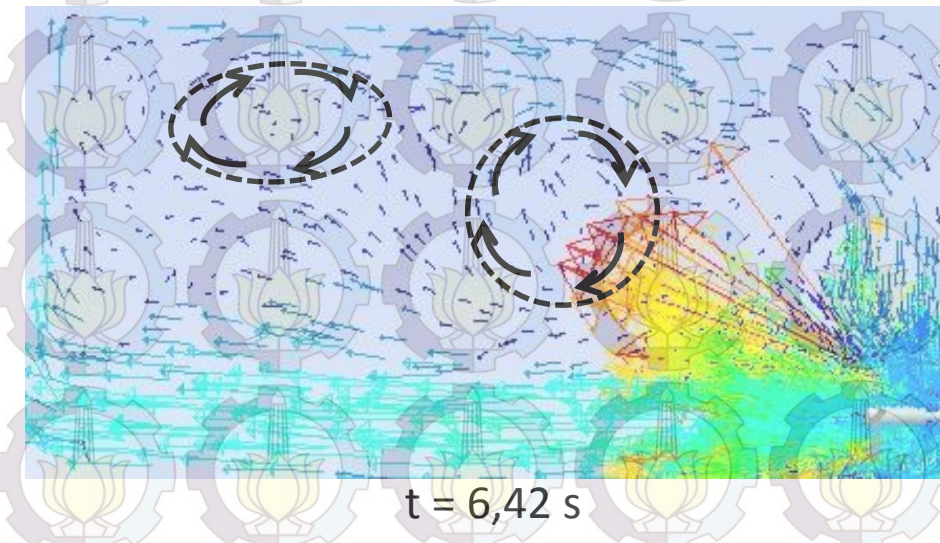
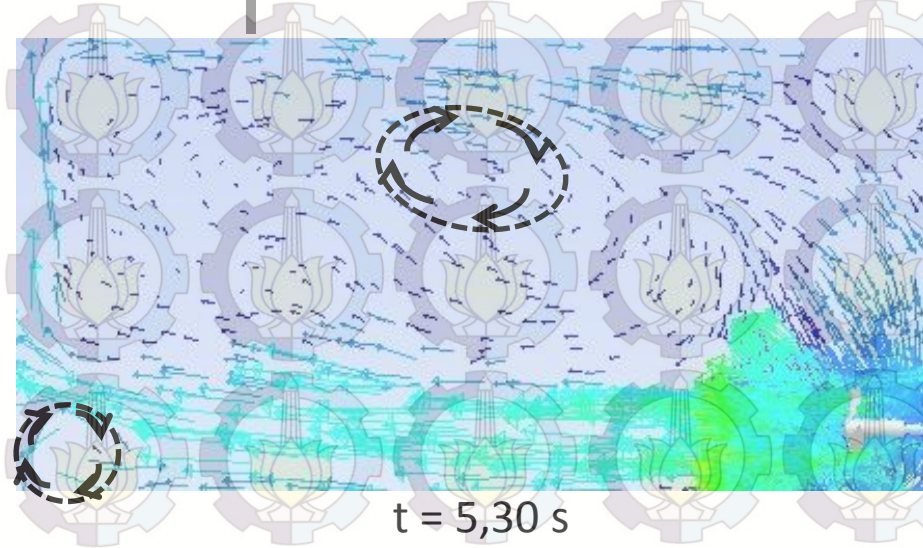
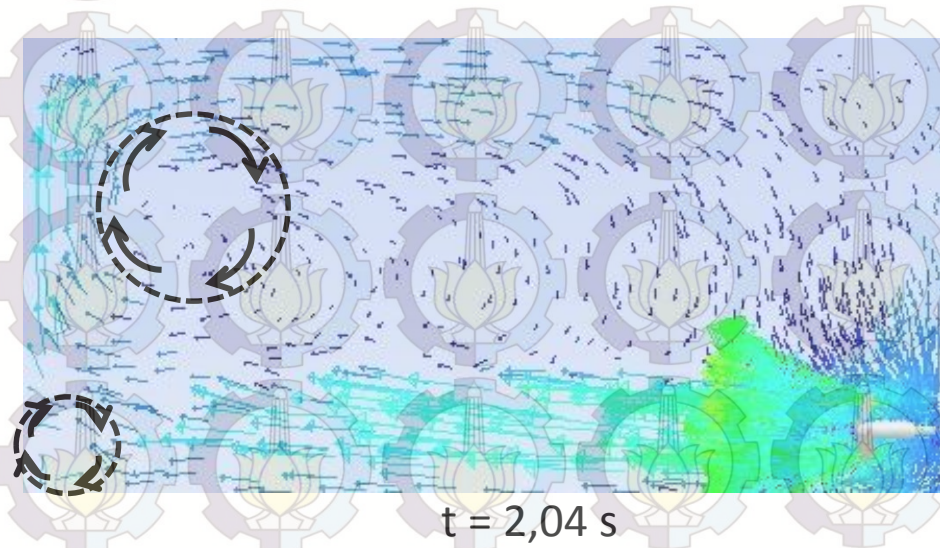


$t = 6,86 \text{ s}$

Impeller 4 cm 4 blade dengan kecepatan putar 700 rpm



ITS
chemical
engineering



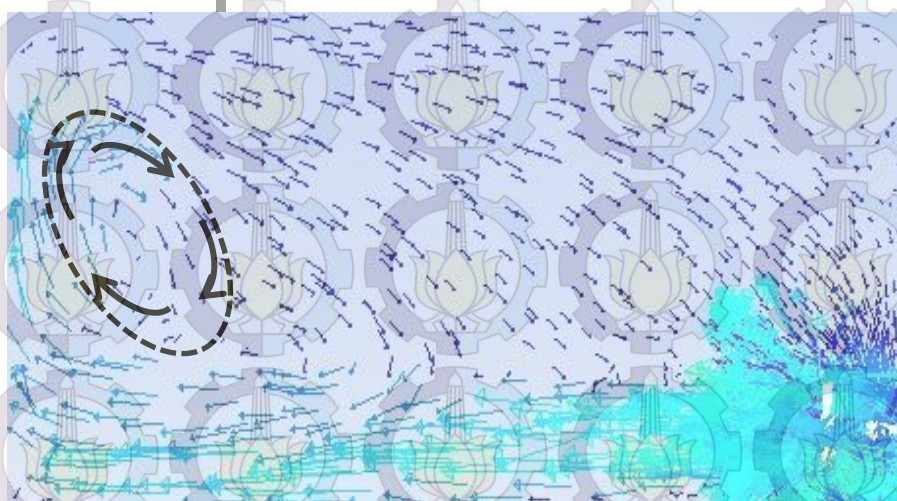
Impeller 4 cm 6 blade dengan kecepatan putar 400 rpm



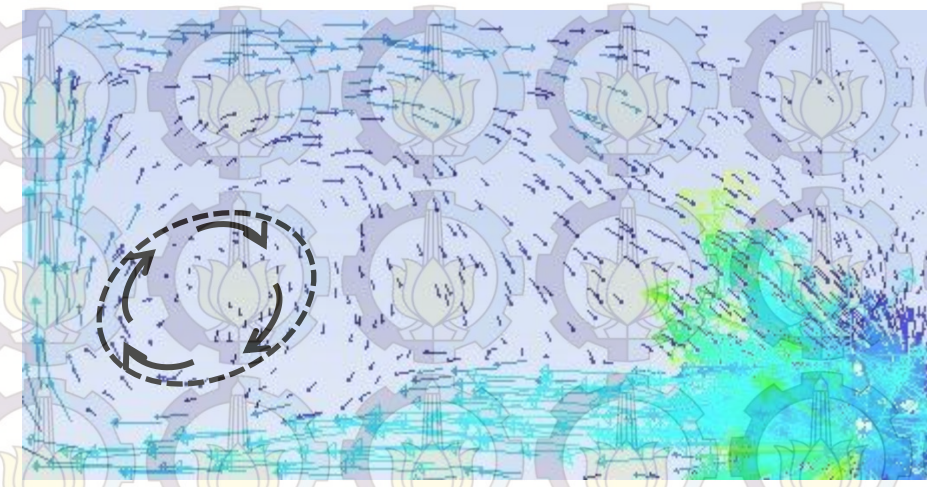
ITS
chemical
engineering



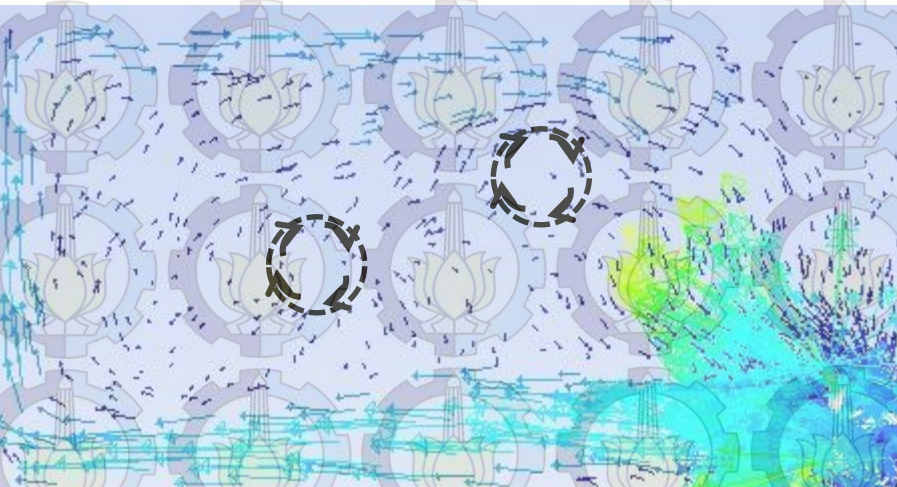
$t = 3,41 \text{ s}$



$t = 5,16 \text{ s}$



$t = 8,04 \text{ s}$

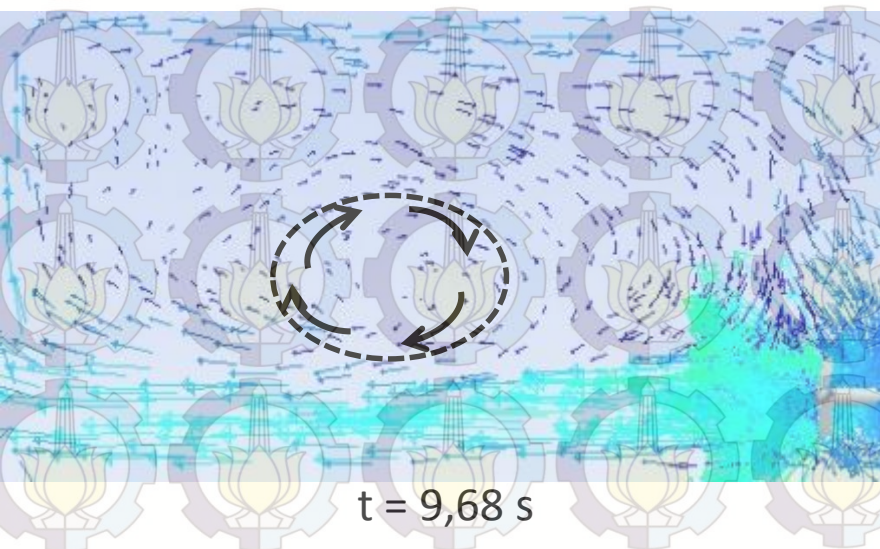
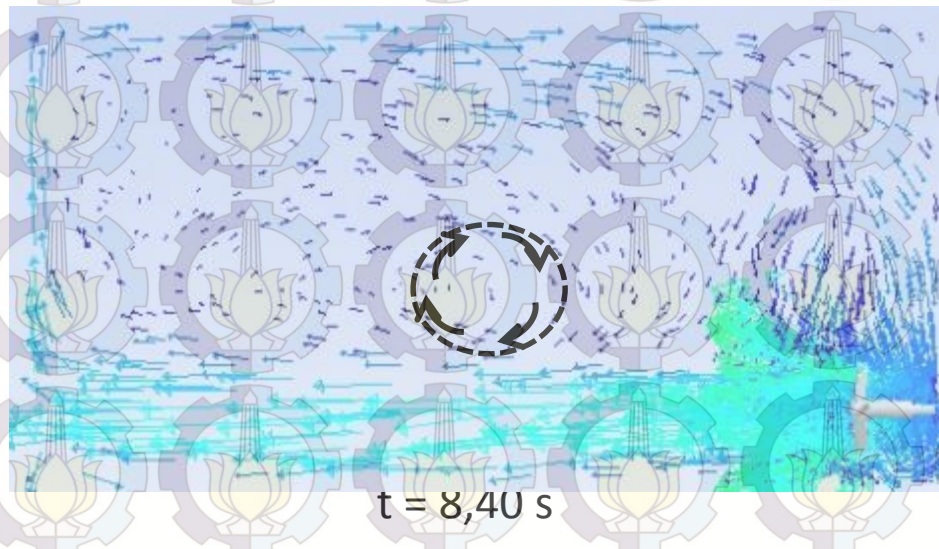
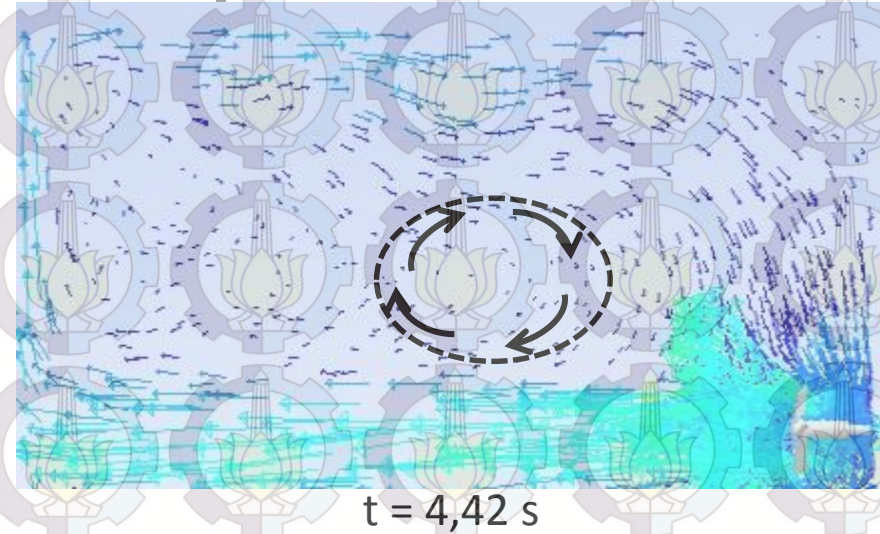
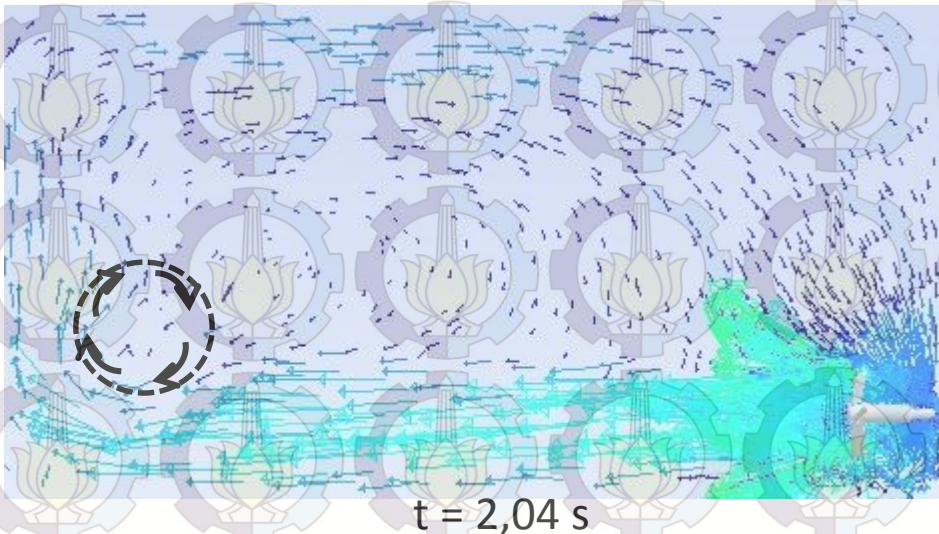


$t = 9,97 \text{ s}$

Impeller 4 cm 6 blade dengan kecepatan putar 500 rpm



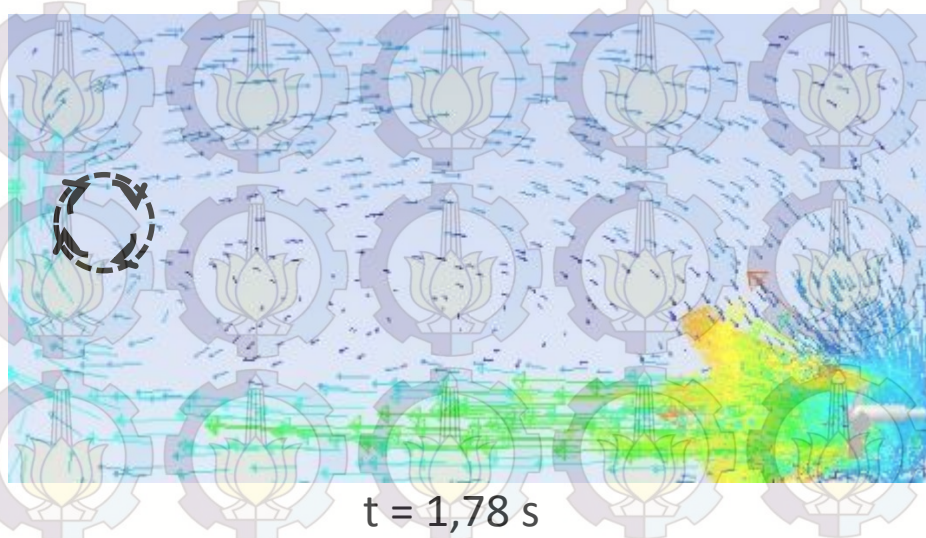
ITS
chemical
engineering



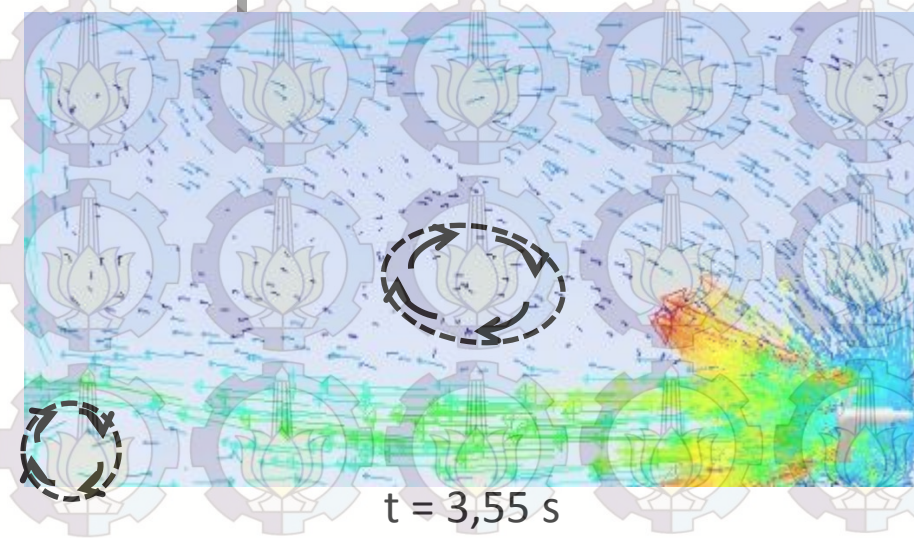
Impeller 4 cm 6 blade dengan kecepatan putar 600 rpm



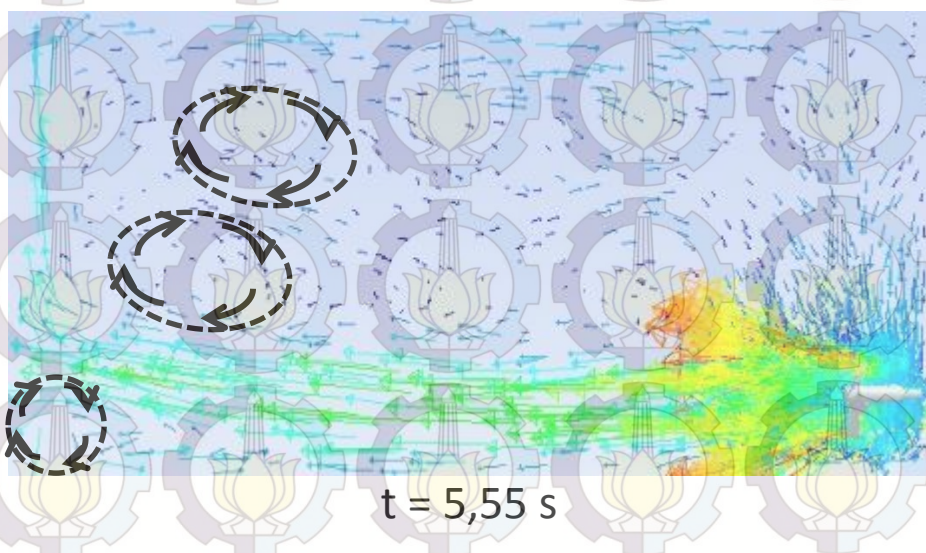
ITS
chemical
engineering



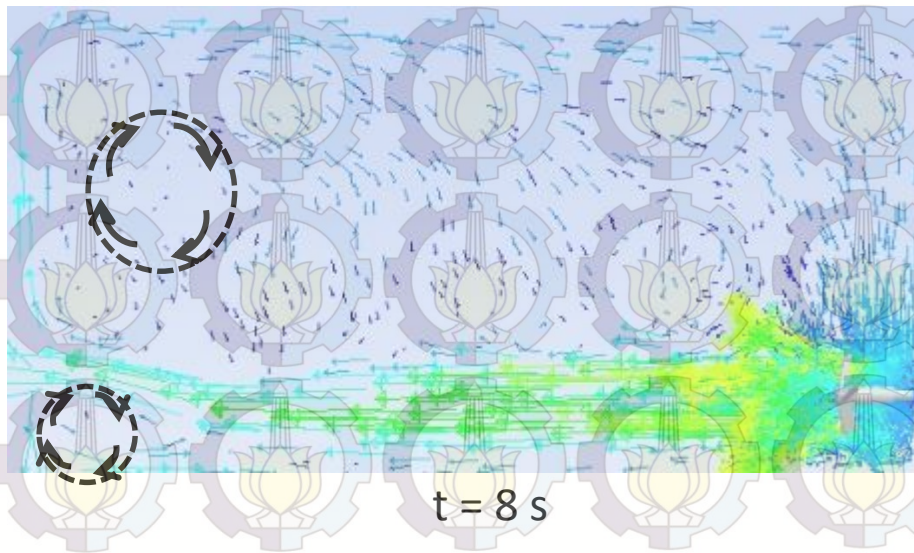
$t = 1,78 \text{ s}$



$t = 3,55 \text{ s}$



$t = 5,55 \text{ s}$

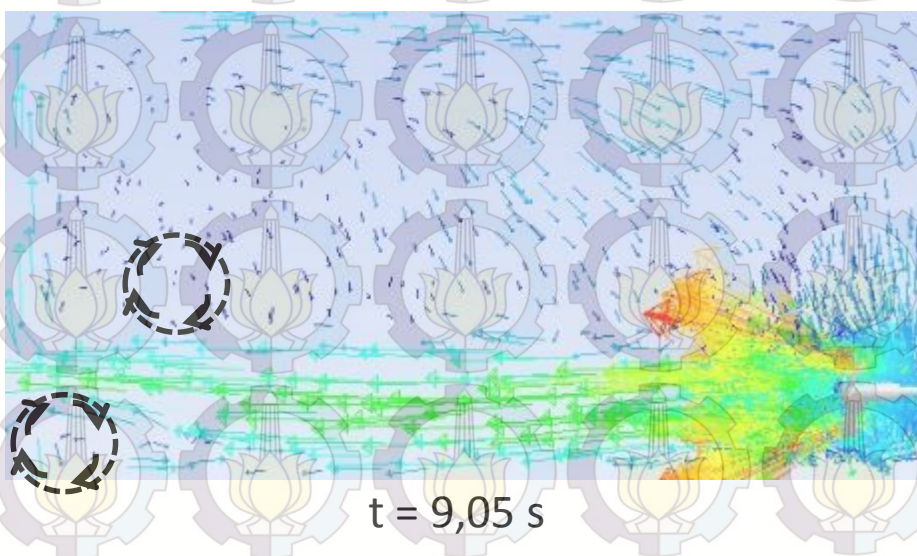
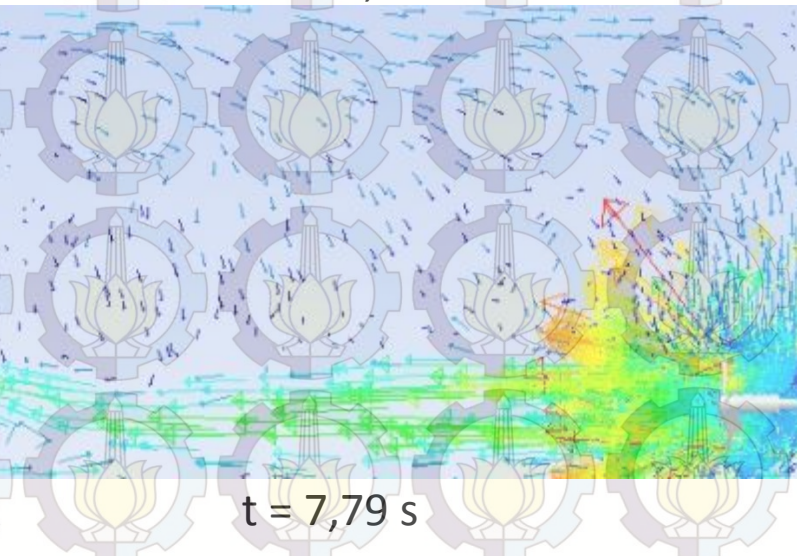
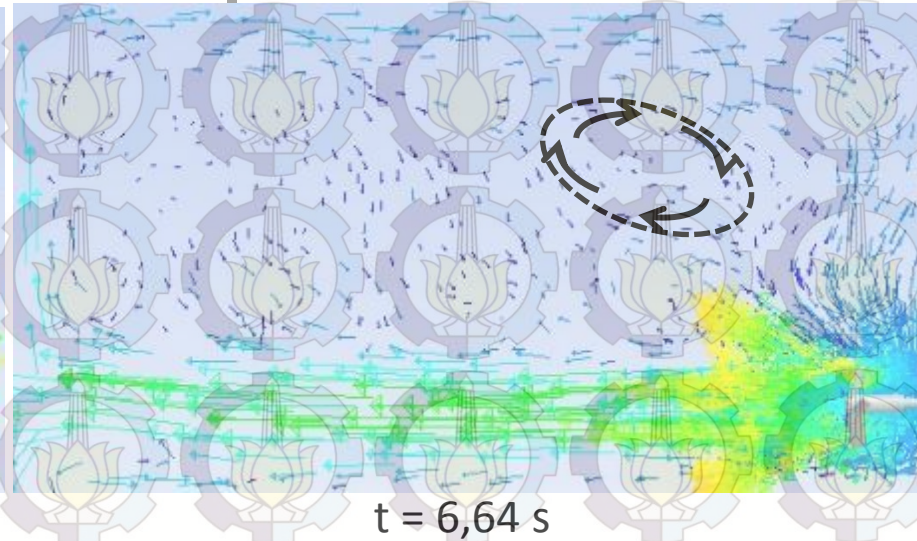
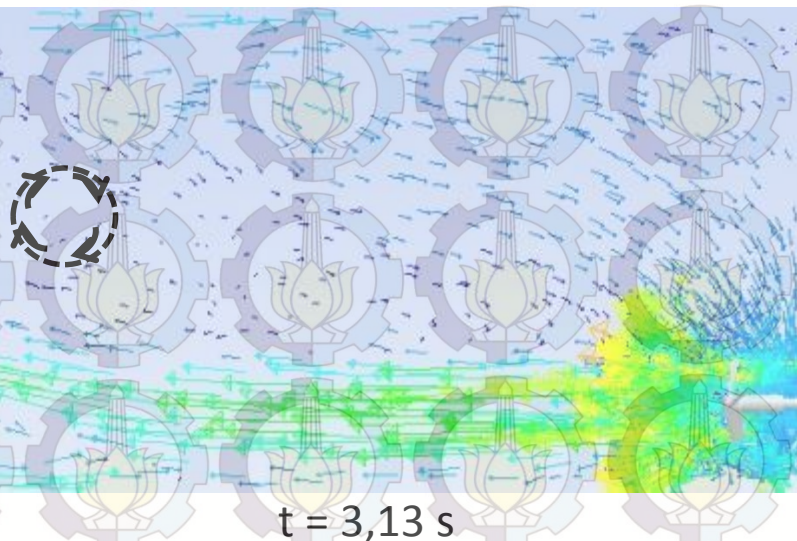


$t = 8 \text{ s}$

Impeller 4 cm 6 blade dengan kecepatan putar 700 rpm



ITS
chemical
engineering



IDENTIFIKASI POLA ALIR (bidang vertical)



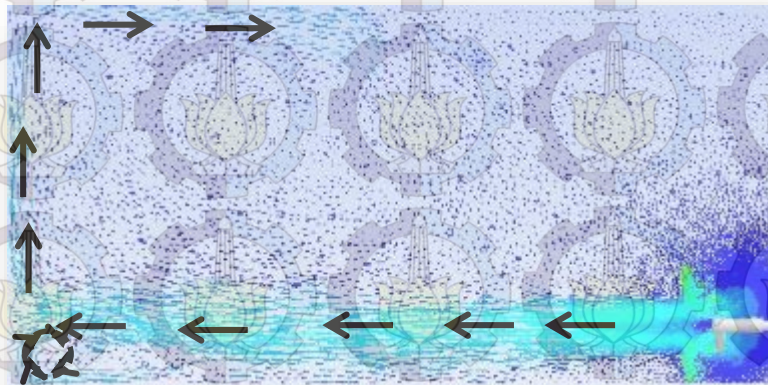
ITS
chemical
engineering

Pengaruh jumlah blade terhadap pola alir (500 rpm)

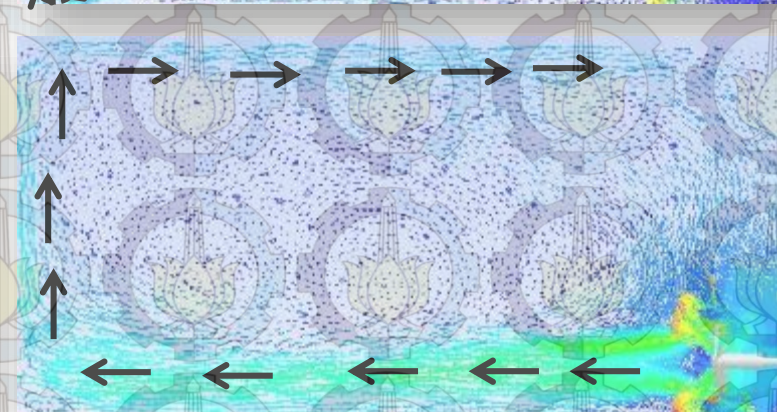
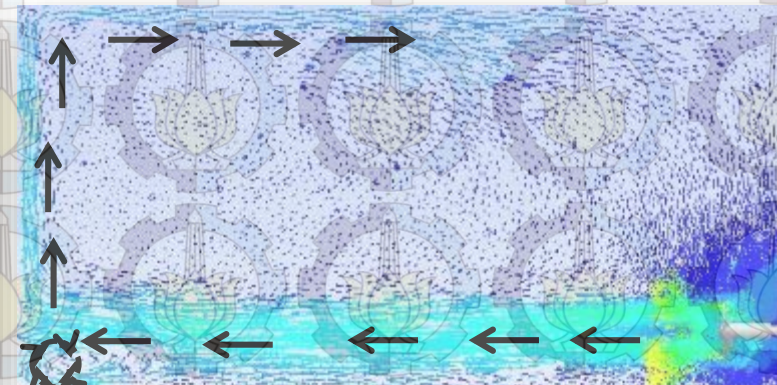
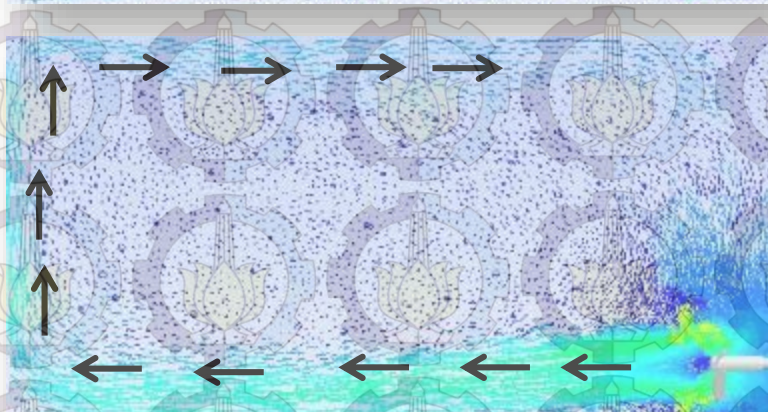
4 blade

6 blade

Diameter
impeller
 $= 3 \text{ cm}$



Diameter
impeller
 $= 4 \text{ cm}$



IDENTIFIKASI POLA ALIR (bidang vertical)

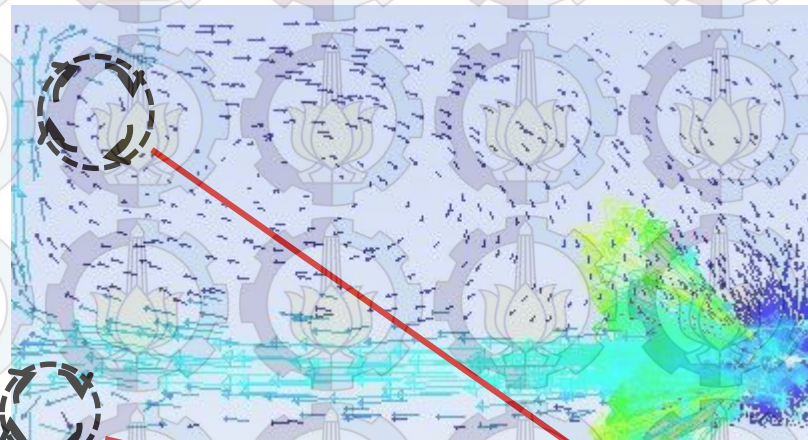


ITS
chemical
engineering

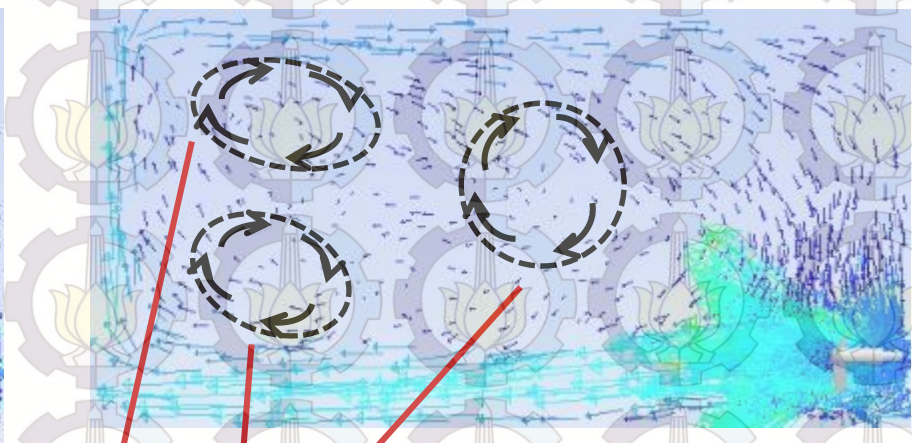
Pola alir yang berbeda (500 rpm)

Diameter impeller = 3 cm

Diameter impeller = 4 cm



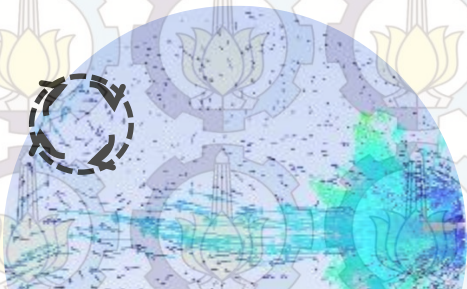
Makrovortex



Impeller 4 cm 4 blade dengan kecepatan putar 400 rpm



ITS
chemical
engineering



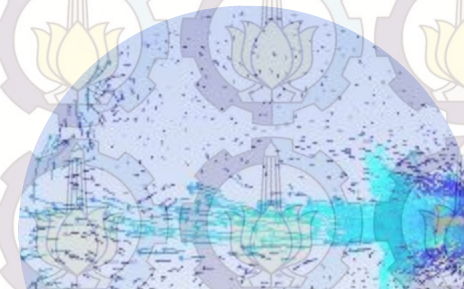
$t = 5,65 \text{ s}$



$t = 6,05 \text{ s}$



$t = 7,1 \text{ s}$

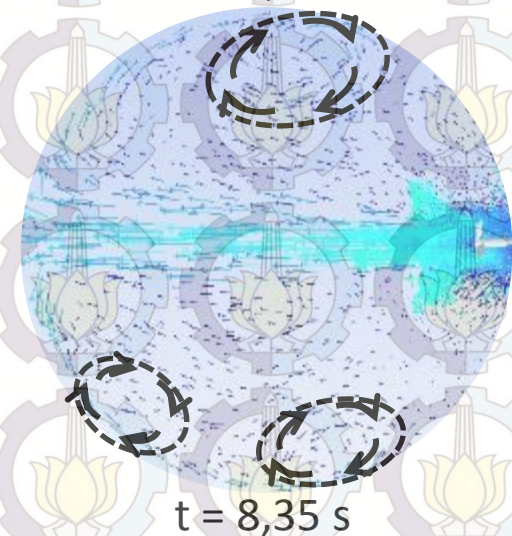
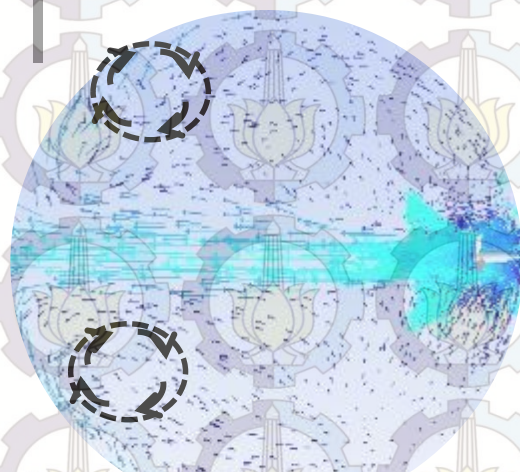
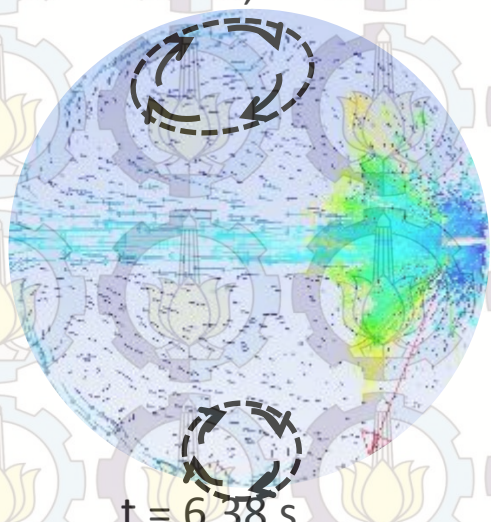
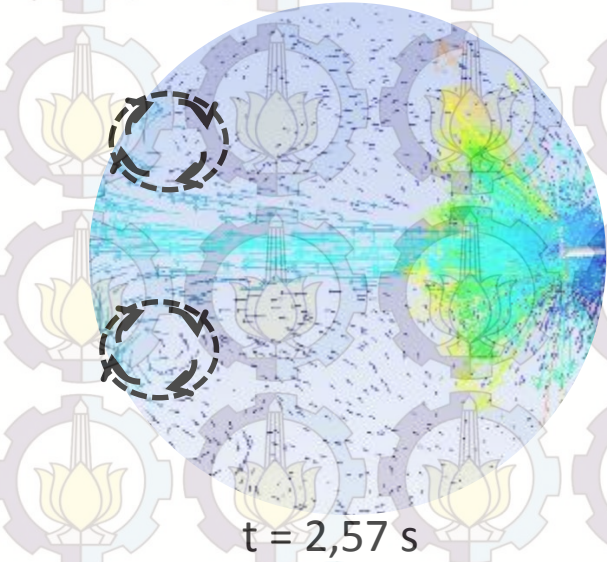


$t = 8,22 \text{ s}$

Impeller 4 cm 4 blade dengan kecepatan putar 500 rpm



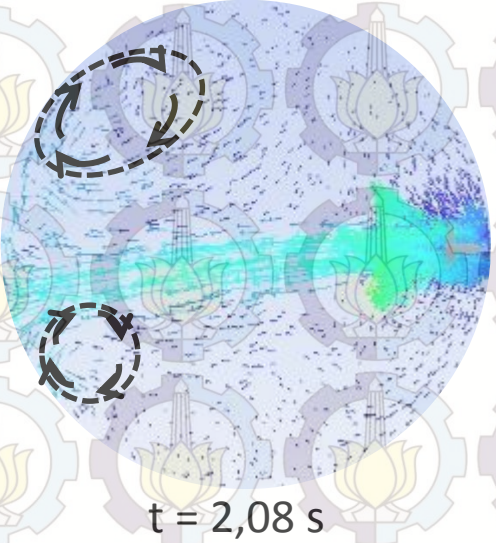
ITS
chemical
engineering



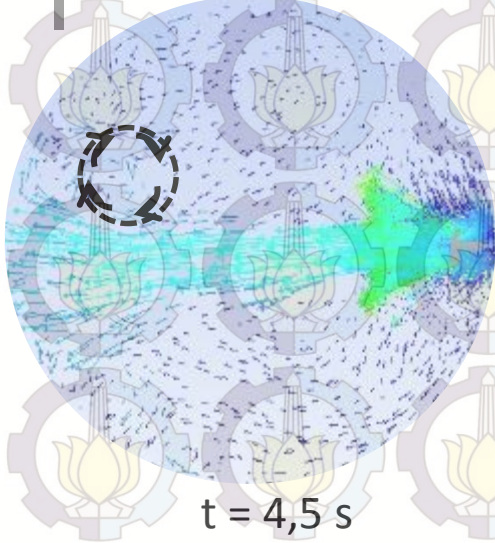
Impeller 4 cm 4 blade dengan kecepatan putar 600 rpm



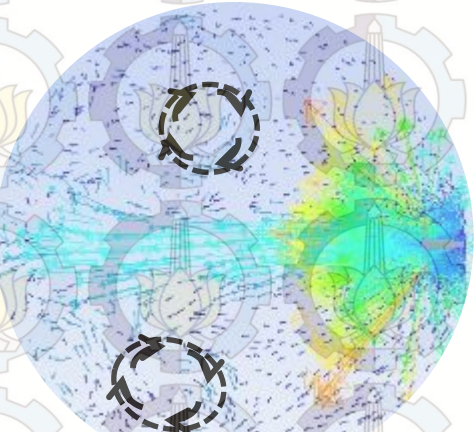
ITS
chemical
engineering



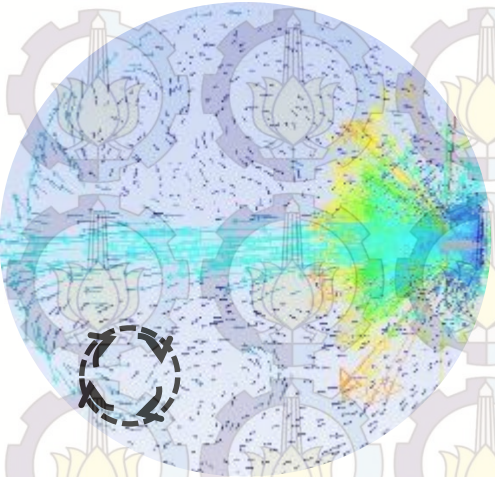
$t = 2,08 \text{ s}$



$t = 4,5 \text{ s}$



$t = 6,74 \text{ s}$

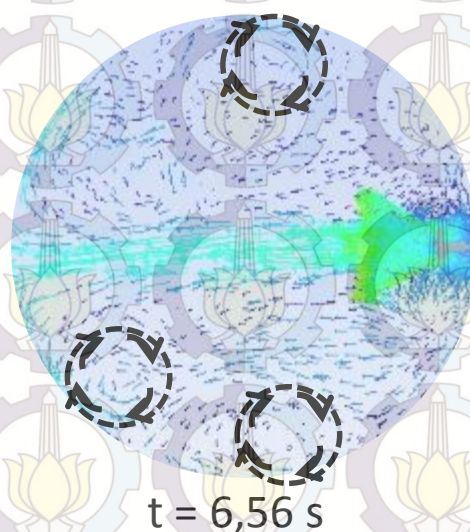
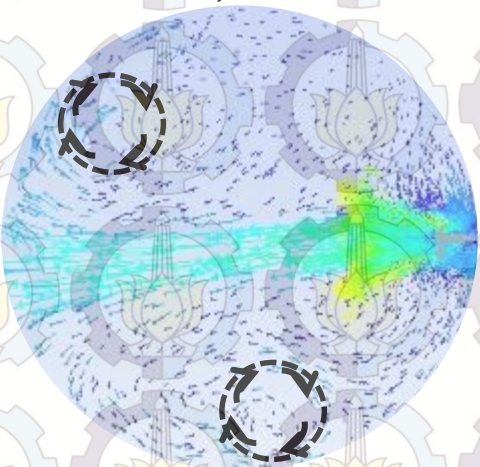
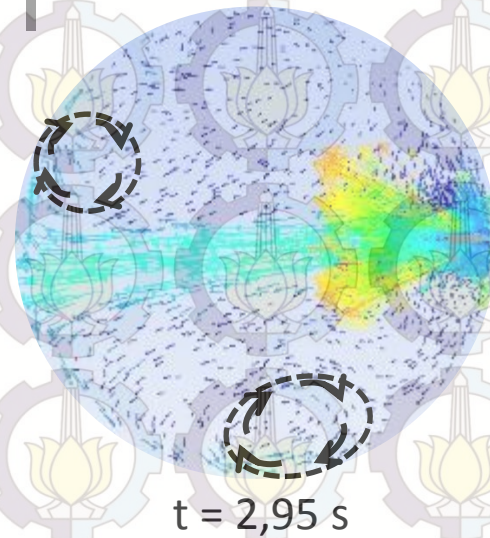
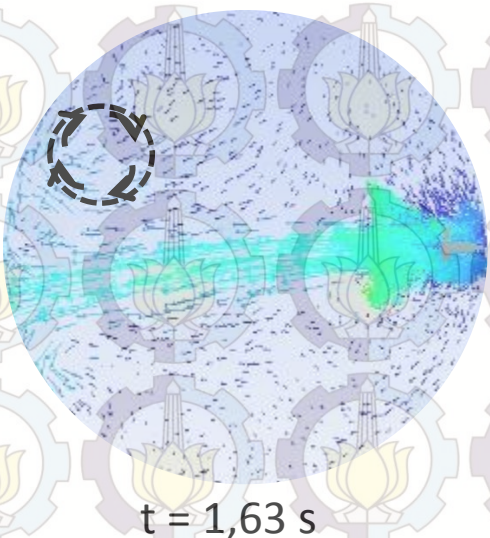


$t = 9,19 \text{ s}$

Impeller 4 cm 4 blade dengan kecepatan putar 700 rpm



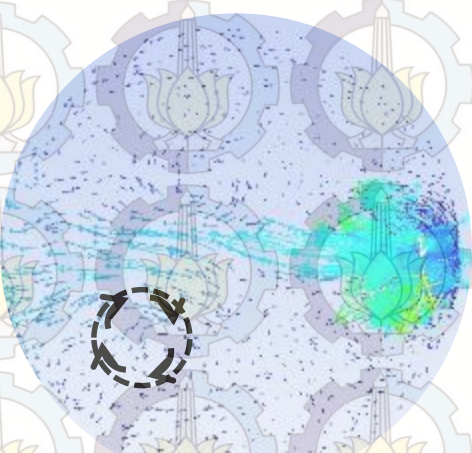
ITS
chemical
engineering



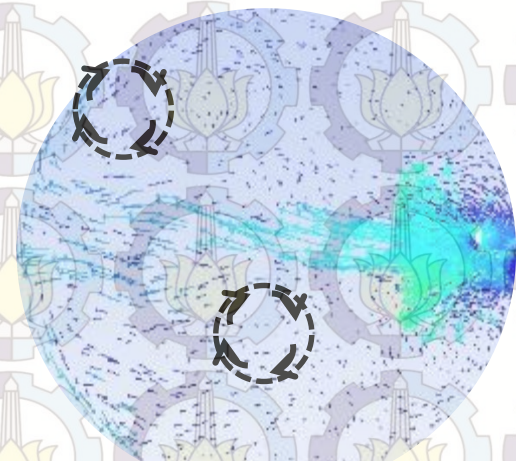
Impeller 4 cm 6 blade dengan kecepatan putar 400 rpm



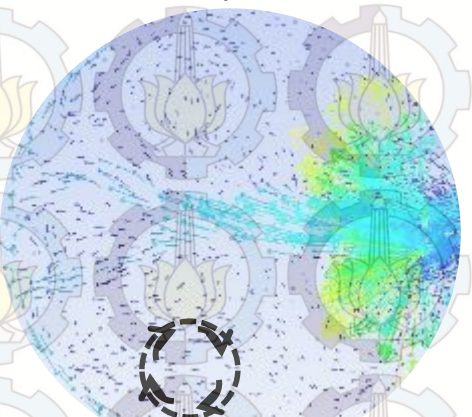
ITS
chemical
engineering



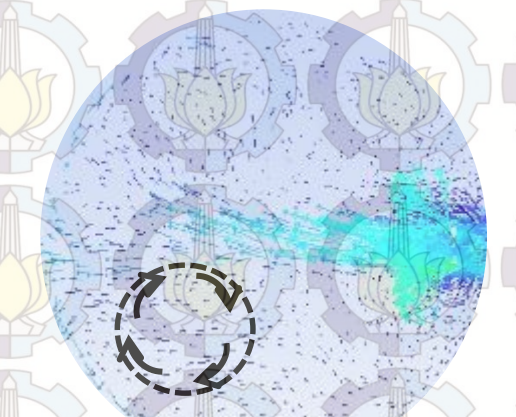
$t = 4,2 \text{ s}$



$t = 5,94 \text{ s}$



$t = 7,23 \text{ s}$

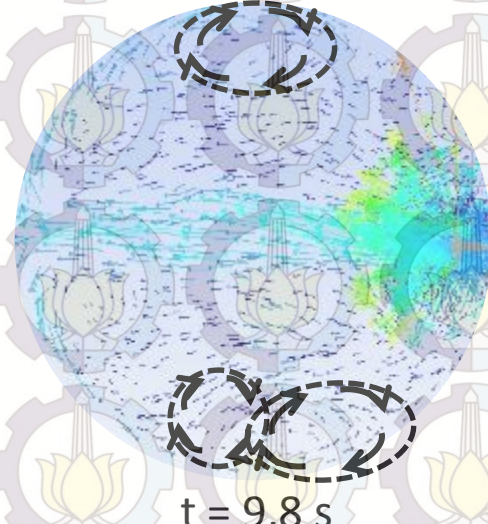
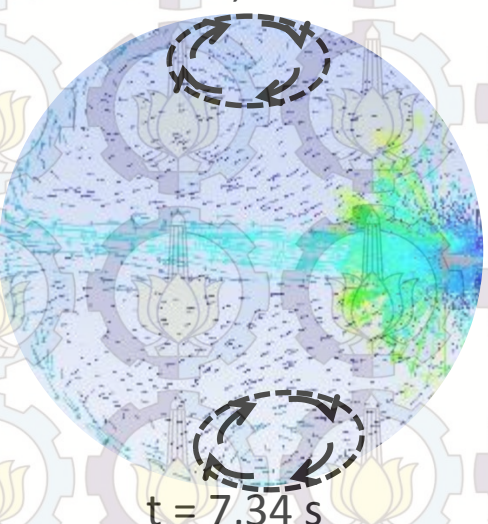
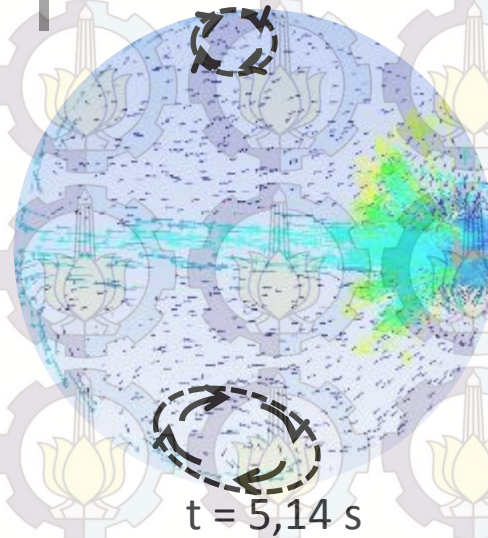
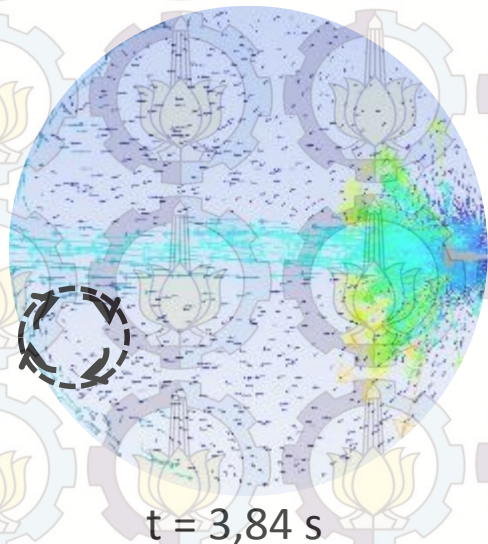


$t = 8,92 \text{ s}$

Impeller 4 cm 6 blade dengan kecepatan putar 500 rpm



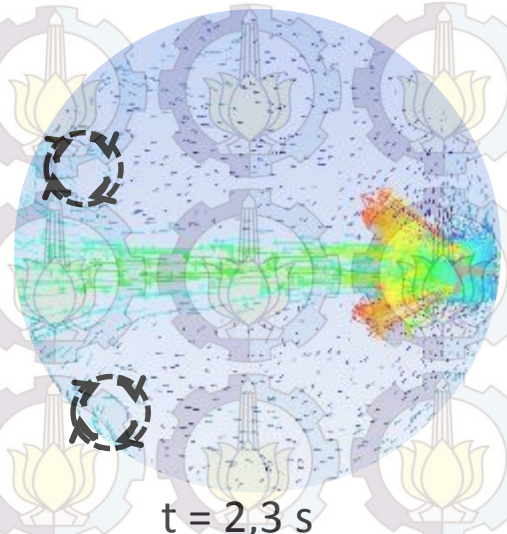
ITS
chemical
engineering



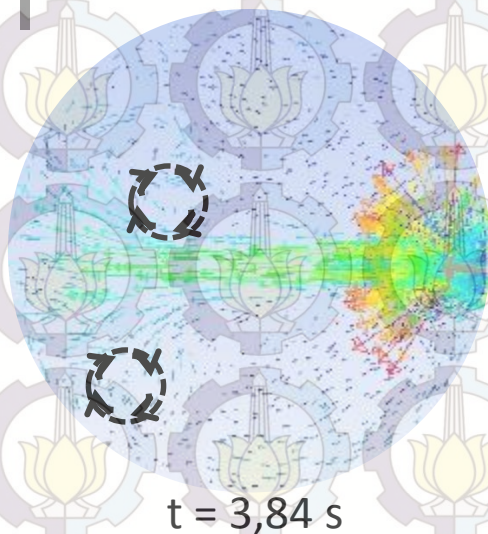
Impeller 4 cm 6 blade dengan kecepatan putar 600 rpm



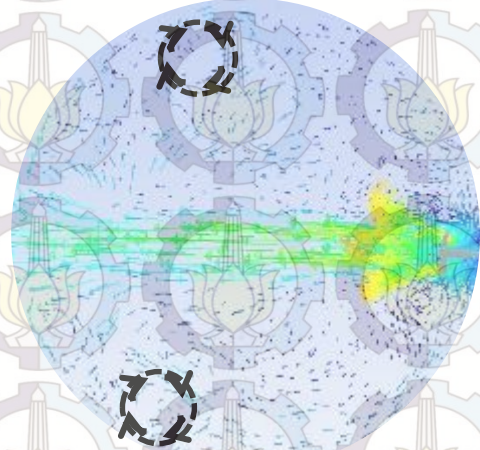
ITS
chemical
engineering



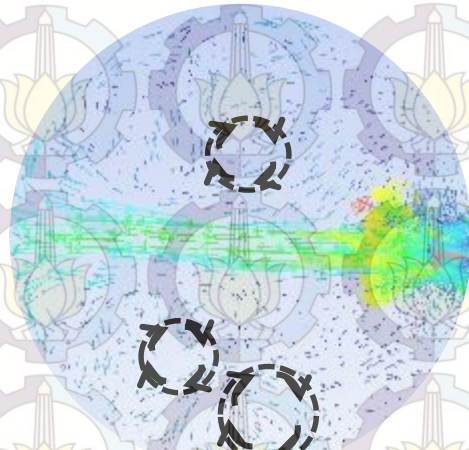
$t = 2,3$ s



$t = 3,84$ s



$t = 6,26$ s

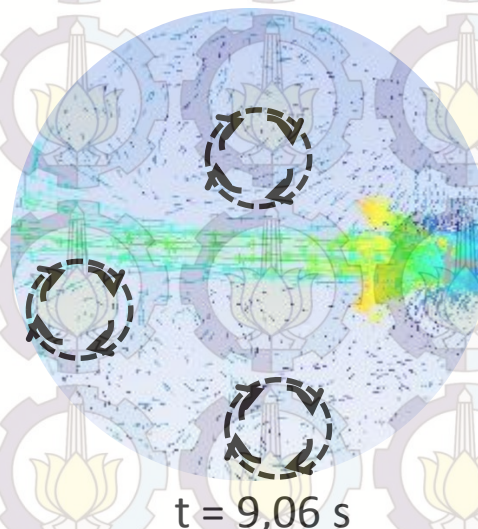
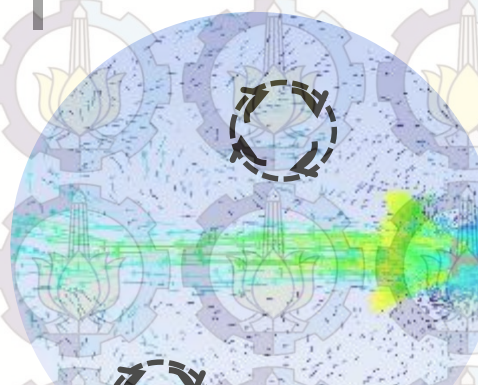
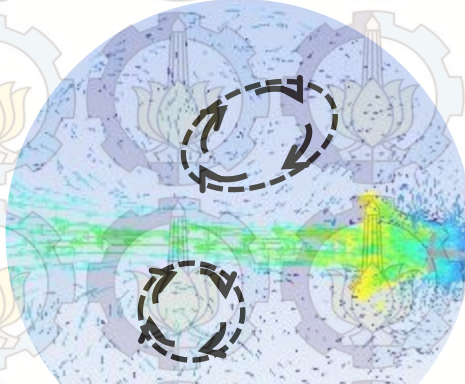
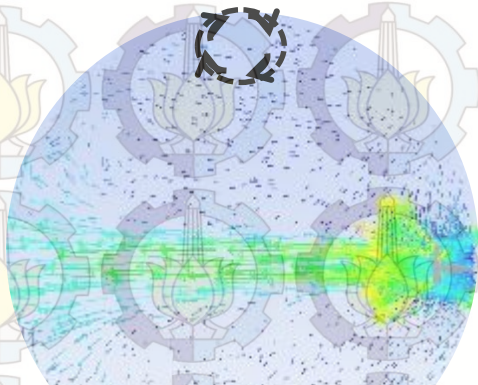


$t = 8,28$ s

Impeller 4 cm 6 blade dengan kecepatan putar 700 rpm



ITS
chemical
engineering



IDENTIFIKASI POLA ALIR (bidang horizontal)

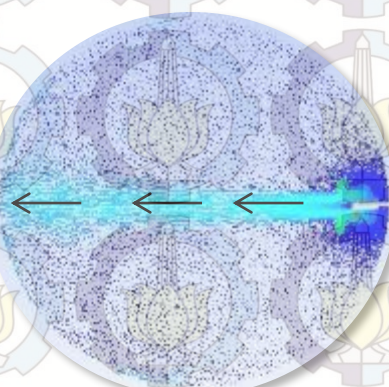


ITS
chemical
engineering

Pengaruh jumlah blade terhadap pola alir (500 rpm)

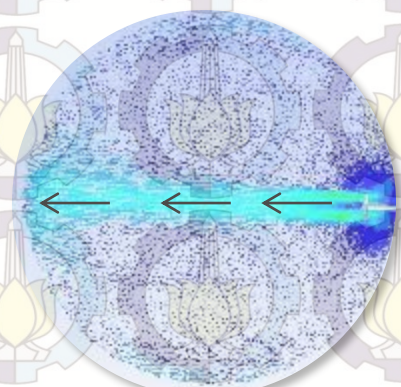
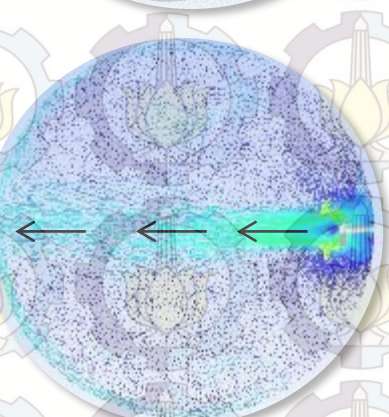
4 blade

Diameter
impeller
 $= 3 \text{ cm}$

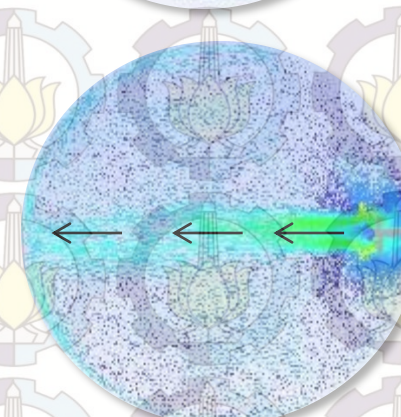
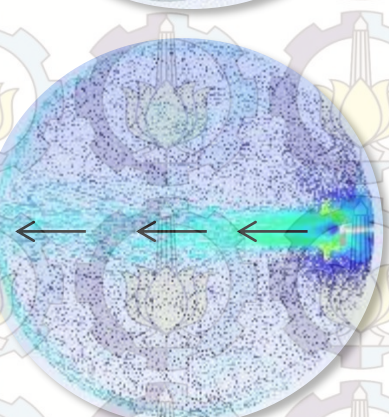


6 blade

Diameter
impeller
 $= 3 \text{ cm}$



Diameter
impeller
 $= 4 \text{ cm}$



Velocity (m/s)

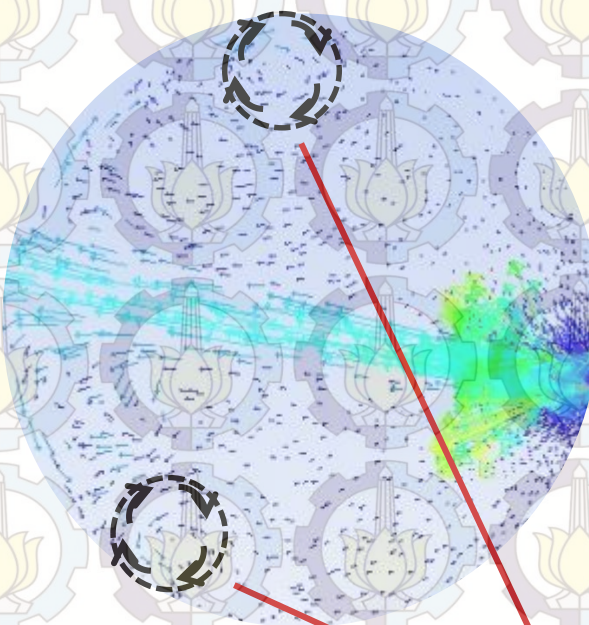
IDENTIFIKASI POLA ALIR (bidang horizontal)



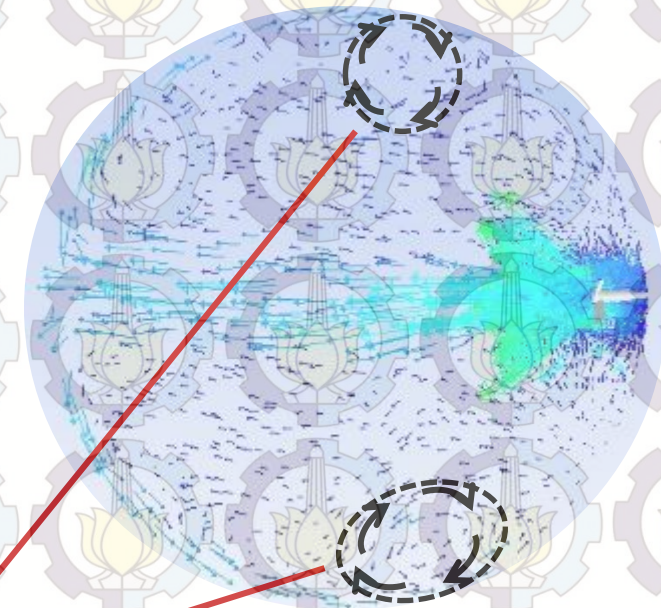
ITS
chemical
engineering

Pola alir yang berbeda

Diameter impeller = 3 cm



Diameter impeller = 4 cm



Makrovortex

FENOMENA MAKRO INSTABILITAS



ITS
chemical
engineering

Untuk diameter 3 cm 4 blade

| Angular velocity | Bidang | Pola alir | life time (s) | Average life time (s) | Life time ratio | Makroistabilitas |
|------------------|------------|-----------|---------------|-----------------------|-----------------|------------------|
| 400 RPM | vertikal | OL-OM | 8,38 | 2,095 | 0,419 | 1 |
| | | Lain | 1,62 | 0,400 | 0,080 | |
| | horizontal | AP-TSM | 9,42 | 4,710 | 0,942 | 1 |
| | | Lain | 0,58 | 0,290 | 0,058 | |
| 500 RPM | vertikal | OL-OM | 7 | 2,333 | 0,700 | 1 |
| | | Lain | 3 | 3,000 | 0,300 | |
| | horizontal | AP-TSM | 7,15 | 3,575 | 0,715 | 1 |
| | | Lain | 2,85 | 2,850 | 2,850 | |
| 600 RPM | vertikal | OL-OM | 6,99 | 3,495 | 0,699 | 1 |
| | | Lain | 3,01 | 1,505 | 0,301 | |
| | horizontal | AP-TSM | 8,19 | 4,095 | 0,819 | 2 |
| | | Lain | 1,81 | 0,905 | 0,181 | |
| 700 RPM | vertikal | OL-OM | 7,4 | 3,700 | 0,740 | 1 |
| | | Lain | 2,6 | 2,600 | 0,260 | |
| | horizontal | AP-TSM | 7,99 | 3,995 | 0,799 | 2 |
| | | Lain | 2,01 | 1,005 | 0,201 | |

FENOMENA MAKRO INSTABILITAS



ITS
chemical
engineering

Untuk diameter 3 cm 6 blade

| Angular velocity | Bidang | Pola alir | life time (s) | Average life time (s) | Life time ratio | Makroistabilitas |
|------------------|------------|-----------|---------------|-----------------------|-----------------|------------------|
| 400 RPM | vertikal | OL-OM | 10 | 10 | 1 | 0 |
| | | Lain | 0 | 0 | 0 | 0 |
| | horizontal | AP-TSM | 10 | 10 | 1 | 0 |
| | | Lain | 0 | 0 | 0 | 0 |
| 500 RPM | vertikal | OL-OM | 6,66 | 3,330 | 0,666 | 2 |
| | | Lain | 3,34 | 3,340 | 0,334 | 2 |
| | horizontal | AP-TSM | 5,63 | 2,815 | 0,563 | 4 |
| | | Lain | 3,29 | 0,329 | 3,290 | 4 |
| 600 RPM | vertikal | OL-OM | 6,11 | 3,055 | 0,611 | 2 |
| | | Lain | 3,89 | 1,945 | 0,389 | 2 |
| | horizontal | AP-TSM | 5,87 | 2,935 | 0,587 | 2 |
| | | Lain | 4,13 | 2,065 | 0,413 | 2 |
| 700 RPM | vertikal | OL-OM | 7,56 | 3,780 | 0,756 | 3 |
| | | Lain | 2,44 | 2,440 | 0,244 | 3 |
| | horizontal | AP-TSM | 6,38 | 2,1267 | 0,638 | 2 |
| | | Lain | 3,62 | 0,724 | 0,362 | 2 |

FENOMENA MAKRO INSTABILITAS



ITS
chemical
engineering

Untuk diameter 4 cm 4 blade

| Angular velocity | Bidang | Pola alir | life time (s) | Average life time (s) | Life time ratio | Makroistabilitas |
|------------------|------------|-----------|---------------|-----------------------|-----------------|------------------|
| 400 RPM | vertikal | OL-OM | 7,67 | 3,835 | 0,384 | 1 |
| | | Lain | 2,33 | 0,583 | 0,058 | |
| | horizontal | AP-TSM | 5,82 | 1,455 | 0,146 | 1 |
| | | Lain | 4,18 | 0,836 | 0,0836 | |
| 500 RPM | vertikal | OL-OM | 7,66 | 2,553 | 0,255 | 3 |
| | | Lain | 2,34 | 0,468 | 0,047 | |
| | horizontal | AP-TSM | 8,58 | 2,860 | 0,286 | 2 |
| | | Lain | 1,42 | 0,710 | 0,071 | |
| 600 RPM | vertikal | OL-OM | 7,82 | 2,607 | 0,261 | 2 |
| | | Lain | 2,18 | 0,727 | 0,073 | |
| | horizontal | AP-TSM | 6,23 | 3,115 | 0,312 | 4 |
| | | Lain | 3,77 | 1,885 | 0,1885 | |
| 700 RPM | vertikal | OL-OM | 3,54 | 3,540 | 0,354 | 4 |
| | | Lain | 6,46 | 1,292 | 0,129 | |
| | horizontal | AP-TSM | 5,34 | 2,670 | 0,267 | 3 |
| | | Lain | 4,66 | 1,553 | 0,155 | |

FENOMENA MAKRO INSTABILITAS



ITS
chemical
engineering

Untuk diameter 4 cm 6 blade

| Angular velocity | Bidang | Pola alir | life time (s) | Average life time (s) | Life time ratio | Makroinstabilitas |
|------------------|------------|-----------|---------------|-----------------------|-----------------|-------------------|
| 400 RPM | vertikal | OL-OM | 3,45 | 3,45 | 0,345 | 1 |
| | | Lain | 6,55 | 3,275 | 0,328 | |
| | horizontal | AP-TSM | 2,67 | 2,67 | 0,267 | 2 |
| | | Lain | 7,33 | 2,443 | 0,244 | |
| 500 RPM | vertikal | OL-OM | 5,64 | 2,820 | 0,282 | 1 |
| | | Lain | 4,36 | 0,727 | 0,073 | |
| | horizontal | AP-TSM | 4,38 | 2,190 | 0,219 | 1 |
| | | Lain | 5,62 | 1,873 | 0,187 | |
| 600 RPM | vertikal | OL-OM | 3,17 | 3,170 | 0,317 | 3 |
| | | Lain | 6,83 | 3,415 | 0,342 | |
| | horizontal | AP-TSM | 2,89 | 2,890 | 0,289 | 3 |
| | | Lain | 7,11 | 2,370 | 0,237 | |
| 700 RPM | vertikal | OL-OM | 4,67 | 2,335 | 0,234 | 4 |
| | | Lain | 5,33 | 1,777 | 0,178 | |
| | horizontal | AP-TSM | 5,15 | 2,575 | 0,258 | 3 |
| | | Lain | 4,85 | 0,808 | 0,081 | |

IDENTIFIKASI POLA ALIR

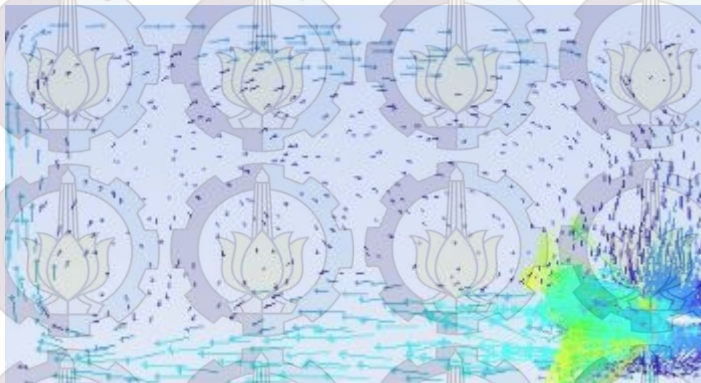
(pengaruh ketinggian liquid)



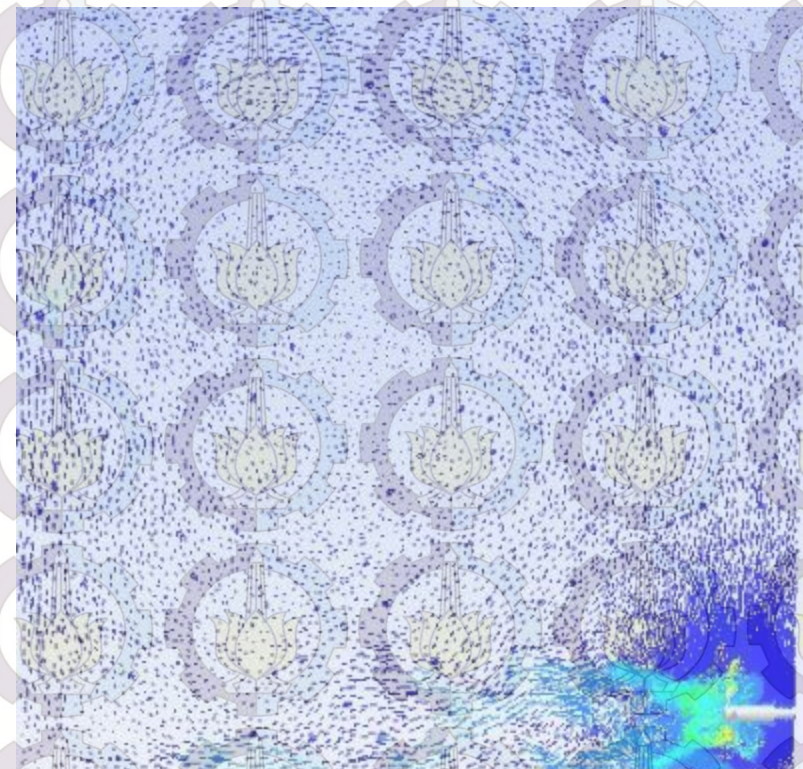
ITS
chemical
engineering

Pola alir pada diameter 3 cm 4 blade kecepatan 700 rpm

H/D = 0.5



H/D = 1



Velocity (m/s)

IDENTIFIKASI POLA ALIR

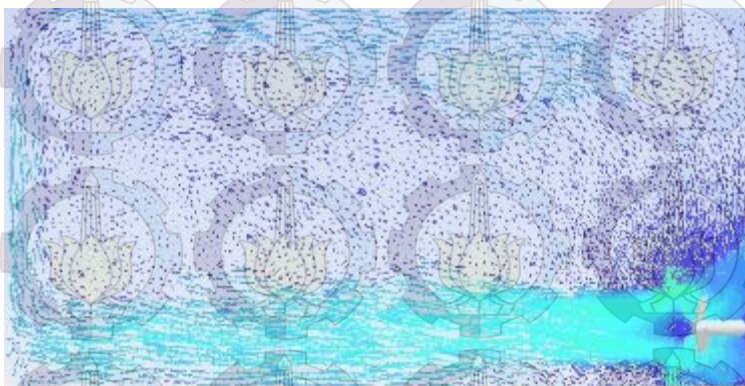
(pengaruh ketinggian liquid)



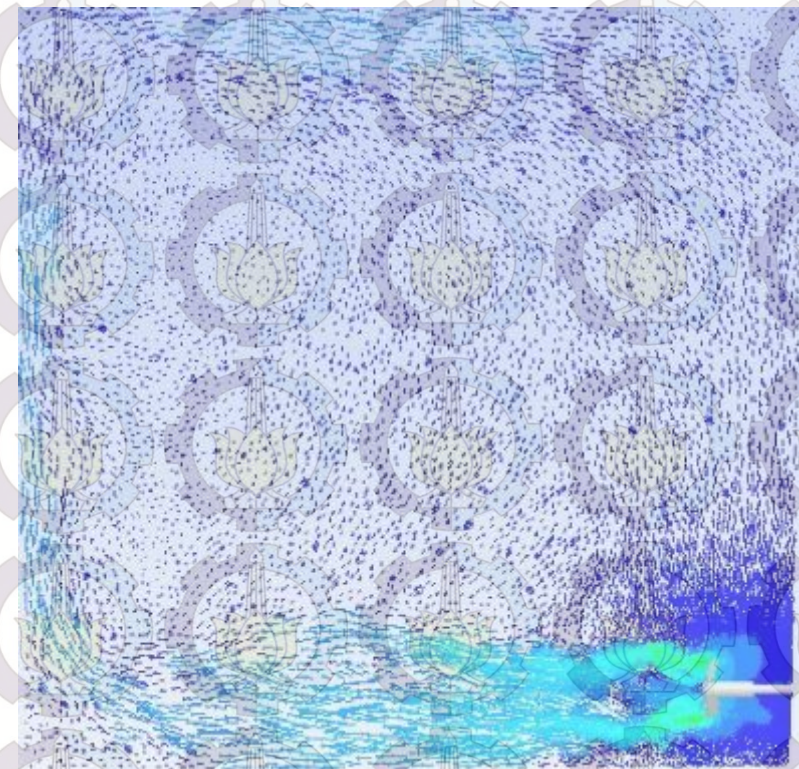
ITS
chemical
engineering

Pola alir pada diameter 4 cm 4 blade kecepatan 400 rpm

H/D = 0.5



H/D = 1



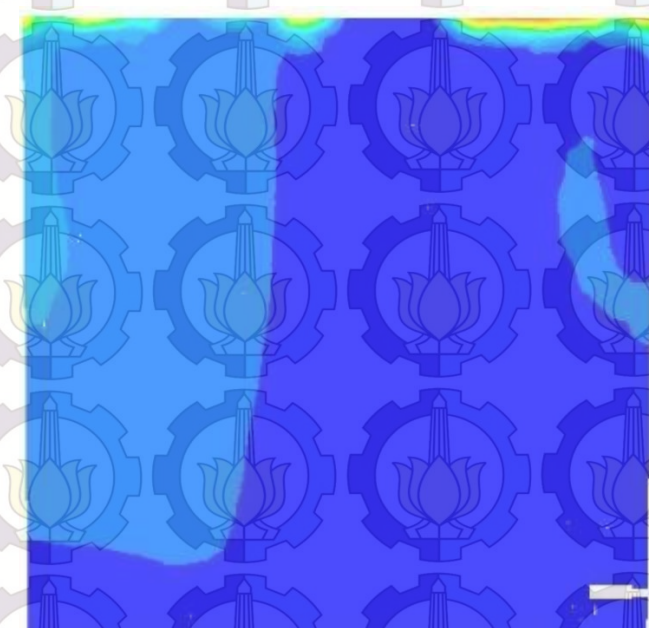
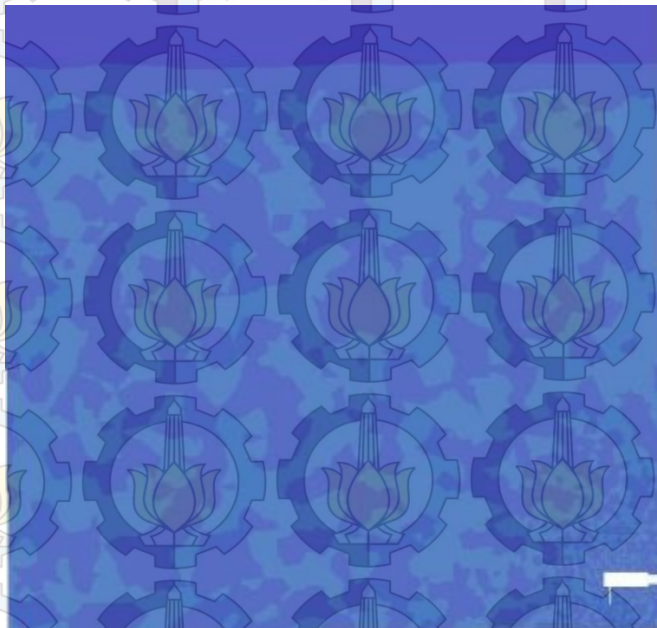
Velocity (m/s)

PERSEBARAN FRAKSI VOLUME GAS METANA



ITS
chemical
engineering

3 cm 4 blade – 400 rpm



Contour Gas Metana Awal ($t = 0 \text{ s}$)

Contour Gas Metana Akhir ($t = 4 \text{ s}$)

(Fraksi Volume)

KESIMPULAN:



1. Pola alir dominan yang terjadi dalam *side-entering mixer* dengan menggunakan Inclined Fan Turbine adalah ***one loop circulation***
2. Semakin besar diameter dari impeller, aliran yang terjadi disekitar impeller semakin turbulen yakni pada diameter impeller 4 cm 4 blade dengan jumlah 4 kali makrovortex
3. Semakin cepat putaran impeller (rpm) maka **turbulensinya meningkat** yang menyebabkan **terjadinya vortex** di beberapa bagian dalam tangki berpengaduk yakni pada kecepatan 600 rpm dan 700 rpm dengan diameter impeller 4 cm 4 blade
4. Aliran liquid pada $H/D = 1$ ($v = 0,1-0,15 \text{ m/s}$) mencapai permukaan liquid tetapi lebih lambat dibandingkan $H/D = 0,5$ ($v = 0,2-0,3 \text{ m/s}$)
5. **Fraksi Volum Gas Metana dalam liquid** sebesar 0,1 terlalu besar sehingga gas metana berada dalam bentuk gelembung besar.



TERIMA KASIH

おわりました、ありがとうございます